

جغرافیا و مخاطرات محیطی، شماره بیست و هفت، پاییز ۱۳۹۷

صفحه ۱۶۱ - ۱۸۷

DOI: 10.22067/geo.v0i0.73549

بررسی بی‌هنگاری‌های میانگین دمای کمینه و بیشینه ایران در دوره گرم سال بهمنظر شناسایی دوره گرم و سرد

حسین علی روحچش سیگارودی - دانشجوی دکتری اقلیم‌شناسی، دانشگاه لرستان، خرم‌آباد، لرستان، ایران

مصطفی کرمپور^۱ - استادیار اقلیم‌شناسی، دانشگاه لرستان، خرم‌آباد، لرستان، ایران

هوشنگ قائمی - استاد هواشناسی، پژوهشکده هواشناسی و علوم جو، تهران، ایران

محمد مرادی - استادیار هواشناسی، پژوهشکده هواشناسی و علوم جو، تهران، ایران

مجید آزادی - دانشیار هواشناسی، پژوهشکده هواشناسی و علوم جو، تهران، ایران

تاریخ دریافت: ۱۳۹۷/۳/۲۶ تاریخ تصویب: ۱۳۹۷/۳/۲۶

چکیده

دما از مهم‌ترین فرا سنج‌های جوی است که ارزیابی تغییرات آن در مناطق مختلف، می‌تواند در آشکارسازی رخدادهای فربن اقلیمی و مدیریت ریسک بسیار مؤثر باشد. بنابراین هدف از این مقاله بررسی و تعیین بی‌هنگاری‌های دما در دوره گرم سال (اپریل- سپتامبر) در دو دوره ۱۹۸۰-۱۹۵۱ و ۲۰۱۰-۱۹۵۱ و دو دوره ده‌ساله ۱۹۶۰-۱۹۵۱، ۲۰۱۰-۱۹۵۱ و دوره ۶۰ ساله ۱۹۵۱-۲۰۱۰ است. داده‌های روزانه ۲۶ ایستگاه همدیدی با پایه آماری مشترک (۱۹۵۱-۲۰۱۰) از سازمان هواشناسی تهیه و پس از بررسی کیفی، آماره‌های موردنیاز برای بهار و تابستان در بازه‌های زمانی فوق تهیه شد. با استفاده از نرم‌افزار GIS نقشه‌های میانگین دمای کمینه و بیشینه، الگوی ضریب تغییرات و برآورد احتمال $\geq 20\%$ حد بالا و پایین آنها تهیه و تفسیر شد. تأثیرگذاری الگوی فضایی- زمانی میانگین دمای بیشینه ۳۰ ساله و ۱۰ ساله دوم بر الگوی متناظر آن در بازه ۶۰ ساله بیشتر بوده است؛ بنابراین در فرا سنج موردنظر و ضریب تغییرات مربوط به آن در دوره ۳۰ ساله و ۱۰ ساله دوم، نسبت به دوره‌های ۳۰ ساله و ۱۰ ساله اول، تغییر نسبی ایجاد شده است. میانگین دمای بیشینه و کمینه اغلب ایستگاه‌ها در بازه (۱۹۸۱-۲۰۱۰) و (۲۰۱۰-۱۹۵۱) افزایش داشته است. نیمه غربی بیشترین کاهش میانگین دمای کمینه و بیشینه را تجربه کرده است که با نتایج تفاضل میانگین دمای کمینه و بیشینه دوره (۱۹۶۰-۱۹۵۱ و ۲۰۱۰-۱۹۸۱) تطابق دارد. افزایش میانگین دمای کمینه در شهرهای بزرگ و پرجمعیت سریع‌تر است که سبب کاهش دامنه تغییرات شباهنگی دمای روزی می‌شود.

احتمال ۲۰٪ بالا (پایین) میانگین دمای بیشینه (کمینه)، نشانه تواتر و گسترش دوره گرم و سرد بیشتر در بازه (۱۹۸۱-۲۰۱۰) است. آزمون من-کنдал نشان می‌دهد که میانگین دمای کمینه ۲۱ ایستگاه در بهار و ۲۲ ایستگاه در تابستان دارای روند معنی‌دار بوده است. به غیراز انزلی در تابستان، بقیه در هر دو فصل بهار و تابستان، روند افزایشی داشتند که می‌تواند به طور مستقیم و غیرمستقیم از طریق گسترش فصل رشد آفات و عوامل بیماری‌زا، وقوع خشکسالی‌های بهار و تابستان و فرسایش خاک حیات انسان و سایر جانداران را تهدید کند.

واژگان کلیدی: الگوهای فضایی-زمانی، دوره گرم، دوره سرد، مدیریت ریسک، اختلاف شبانه‌روزی دما

۱- مقدمه

دما از مهم‌ترین فرا سنج‌های جوی و اقلیمی است که تغییر آن منشأ بسیاری از تحولات فیزیکی، شیمیایی و زیستمحیطی است؛ بنابراین ارزیابی‌های منطقه‌ای تغییر این فرا سنج در مناطق مختلف اقلیمی برای درک وجود نوع روند آن ضروری است؛ زیرا نتایج آن می‌تواند در شناسایی رخدادهای اقلیمی فرین و ظهور مخاطرات طبیعی بسیار مؤثر باشد. از طرفی شناسایی تأثیر پدیده‌های اقلیمی فرین بر روی سامانه‌های محیطی بسیار مهم است. اهمیت مسئله ازیک طرف و عدم اطمینان از تغییراتی را که در آینده از آن حاصل می‌شود، ایجاد می‌کند که دانسته شود، چرا و چگونه شرایط اقلیمی نسبت به گذشته تغییر کرده است. به همین دلیل مطالعه رخدادهای اقلیمی به موضوعی ویژه تبدیل شده است. از آنجایی که میانگین‌های دمای کمینه و بیشینه در چند دهه اخیر نسبت به گذشته تغییر افزایشی داشته است که می‌تواند به طور مستقیم و غیرمستقیم از طریق گسترش فصل رشد آفات و عوامل بیماری‌زا، افزایش رخداد خشکسالی‌های بهاره و فرسایش خاک و غیره، حیات انسان و سایر جانداران را تهدید کند، بنابراین شناخت و تحلیل دقیق تغییر در الگوهای فضایی- زمانی دما برای ایجاد راهبردهای مدیریت بوم‌سازگان^۱ ضروری است. از طرفی موقعیت جغرافیایی کشور وجود گستره وسیعی از اراضی کویری و خشک به همراه مناطق کوهستانی، بوم‌سازگان‌های طبیعی منطقه‌ای، کشور را نسبت به تغییرات جزئی دما بیشتر آسیب‌پذیر می‌کند؛ زیرا تغییرات دما از عوامل تنفس‌زا و محدودکننده رشد گیاهی، حیات انسانی و جانوری به شمار می‌رود که می‌تواند ثبات و انعطاف‌پذیری آنها را نسبت به این تغییرات به چالش بکشد. موج سرما و گرمای کمی‌کارهای بزرگ مشخص می‌شود. این رخدادها می‌توانند در یک دوره مشخص با یا استیلای هوای سرد یا گرم در یک ناحیه بزرگ مشخص می‌شود. این رخدادها می‌توانند در یک دوره مشخص با هوای بهشت سرد یا گرم همراه باشند. رطوبت بالا می‌تواند اثر موج گرم را افزایش دهد در حالی که بادهای شدید اثر موج سرما را افزایش می‌دهند (stocks). Basara و همکاران (۲۰۱۰) در تحقیقی در شهر اوکلاهما ضمن بررسی تأثیرات جزیره گرمایی بخش مرکزی شهر بعد از یک دوره گرم نشان دادند که نسبت به مناطق روستایی در

1 ecosystem

مواجه با موج گرم و مرطوب، به ترتیب ۰,۵ تا ۲ درجه در روز و شب گرمای بیشتری تولید می‌کند. Makokha and Shisany (۲۰۱۰) در بررسی تغییرات میانگین دمای سالانه نزدیک به سطح زمین در شهر نایروبی برای بازه زمانی ۱۹۶۶-۱۹۹۹ با استفاده از آزمون رتبه‌ای من-کنдал و رگرسیون خطی، نشان دادند که تغییر در میانگین دمای کمینه بیشتر از میانگین دمای بیشینه است. افزایش قابل توجه در میانگین دمای کمینه در ایستگاه‌های شهری مرکزی معنادارتر بوده که نشانه‌ای از تأثیر بیشتر گسترش شهرنشینی و منطقه تجاری مرکزی بر روی میانگین دما نسبت به حومه‌ها است. Gurevich و همکاران (2011) در تحقیقی با عنوان تحلیل آماری تغییرات دما در اسرائیل در یک بازه زمانی ۳۷ ساله (۱۹۶۷-۲۰۰۳) نشان دادند که الگوی پیچیده‌ای از تغییرات در روند دمای ماهانه و روزانه (میانگین، میانگین بیشینه و کمینه و دامنه تغییرات) دیده می‌شود به طوری که تمامی مناطق اسرائیل در فصل گرم از اواسط دهه ۱۹۸۰ تا اواسط ۱۹۹۰ با افزایش میانگین دمای ماهانه مواجه بوده‌اند که نشانه گرمتر شدن تابستان است. Altin و همکاران (۲۰۱۲) در مطالعه‌ای با عنوان تغییر در مقدار دما طی سه دهه (۱۹۷۵-۲۰۰۷) در آناتولی مرکزی نشان داده‌اند که افزایش متنابه‌ی در مقدار دما صورت گرفته است (۴,۰ درجه). Peterson و همکاران (۲۰۱۳) در پژوهشی، به بررسی امواج گرمایی و سرمایی در ایالات متحده نشان دادند که دوره‌های گرم در حال افزایش هستند ولی دوره‌های سرد کاهش یافته‌اند. Peng و همکاران (۲۰۱۴) در پژوهشی با عنوان ارزیابی تغییرات و ویژگی‌های دمای هوا در حوزه تاریم در بازه زمانی ۱۹۶۰ تا ۲۰۱۲ با استفاده از روش من-کنلال و رگرسیون نشان دادند که شواهدی از گرم شدن وجود دارد که عمدتاً از نظر گستره فضایی و زمانی متفاوت است و دلیل این تفاوت شرایط محیطی محلی مانند ارتفاع است. همچنین پدیده‌های اقلیمی وسیع ممکن است بر تغییرات زمانی دمای هوا در حوزه تاریم تأثیر بگذارد. آن‌ها همچنین نشان می‌دهند که مقدار افزایش میانگین دمای کمینه بسیار بیشتر از آهنگ افزایش میانگین دمای سالانه و دمای بیشینه بوده است (۵,۰ درجه سانتی‌گراد در مقابل ۰,۲۵ و ۰,۱۲ درجه سانتی‌گراد). Qu و همکاران (۲۰۱۴) در تحقیقی با عنوان تحلیل تغییر دامنه دمای روزانه هوا و دمای میانگین آب و هوای ایالات متحده آمریکا طی بازه زمانی ۱۹۱۱-۲۰۱۲ از طریق محاسبه میانگین ماهانه و فصلی اختلاف دمای شبانه‌روزی نشان می‌دهند که در حالی که متوسط دامنه تغییرات شبانه‌روزی دمای سالانه ایالات متحده در دهه‌های گذشته به طور پیوسته کاهش یافته است، ولی این کاهش دارای الگوهای زمانی و فصلی است. پاییز و زمستان شاهد کاهش قابل توجهی در دامنه تغییرات شبانه‌روزی دما بوده است. از سوی دیگر بهار و تابستان اختلاف دمای شبانه‌روزی بسیار کمی را تجربه کرده‌اند. Mugume و همکاران (۲۰۱۶) در تحقیقی با عنوان تحلیل وردایی دما در نواحی بیابانی و شهری شمال چین با استفاده از محاسبه بی‌هنجاری میانگین دما و آزمون روند من-کنلال و تحلیل رگرسیون نشان می‌دهند که دامنه تغییرات شبانه‌روزی دما در هر دو ناحیه بیابانی و شهری در فصل بهار کاهش می‌یابد ولی در تابستان مقدار دامنه تغییرات شبانه‌روزی دما در شهرا کاهش و در مناطق بیابانی افزایش می‌یابد. روزهای با دمای بالا و فرآیندهای فرین

گرم برای هر دو ناحیه افزایش می‌یابد. Lin و همکاران (۲۰۱۷) در تحقیقی به منظور ارزیابی توزیع مکانی-زمانی رخداد دماهای فرین در پاسخ به گرمایش جهانی در مناطق کوهستانی و خشک شمال غرب چین با استفاده از روش رگرسیون خطی و آزمون ناپارامتری من-کندا، نشان می‌دهند که با گرم شدن کره زمین فرایندهای فرین دما در مناطق کوهستانی و خشک به طور قابل توجهی رو به افزایش گذاشته است. Lewis and King (۲۰۱۷) در مقاله‌ای تحت عنوان بررسی تغییرات تدریجی در ویژگی‌های دمای میانگین بیشینه و کمینه قرن ۲۱ برای مناطق مختلف استرالیا، آسیا، اروپا و آمریکای شمالی با استفاده از مدل CMIP5 و تحت سناریوی بدینانه RCP8.5 و نیز تحلیل رگرسیون کیفی نشان دادند که افزایش دما در طول قرن ۲۱، یک ویژگی سازگار با تمام مدل‌های منطقه‌ای است. آن‌ها نشان می‌دهند که دماهای فرین کمینه به طور بالقوه حساسیت بیشتری نسبت به تغییرات واریانس و دماهای فرین بیشینه دارند. رحیم زاده و عسگری (۱۳۸۳) در تحقیقی با عنوان نگرشی بر تفاوت نرخ افزایش دمای کمینه و بیشینه و کاهش دامنه شباهنروزی دما در کشور نشان دادند که الگوی تغییرات در دمای کمینه و بیشینه و میانگین در سطح کشور یکسان نیست. هرچند روند افزایشی دمای کمینه در اکثر ایستگاه‌ها به ویژه ایستگاه‌های واقع در شهرهای بزرگ رو به گسترش، قابل ملاحظه است، دامنه تغییرات شباهنروزی دما در شهرهای بزرگ چون تهران، شیراز و اصفهان نرخ کاهشی قابل ملاحظه‌ای داشته است. ورشاویان و همکاران (۱۳۹۰) در تحقیقی با عنوان بررسی روند تغییرات مقادیر فرین دمای کمینه و بیشینه و میانگین روزانه در چند نمونه اقلیمی ایران با استفاده از داده‌های هشت ایستگاه همدید بوشهر، تبریز، تهران، مهرآباد، زاهدان، شیراز، کرمان، کرمانشاه و مشهد در بازه زمانی (۱۹۶۱-۲۰۰۴) به منظور استخراج مقادیر فرین دما شامل دهکه‌ای پایین (۱۰,۵,۹۰,۹۵,۹۹) تعداد روزهای کمتر از صد ک پایین و بیشتر از صد ک بالا و به کارگیری آزمون پارامتری و ناپارامتری رگرسیون خطی حداقل مربعات، پرسون، p اسپیرمن و آزمون معنی‌داری من-کندا نشان داد که اغلب ایستگاه‌ها معنی‌دار افزایشی در مقادیر فرین دما بخصوص دمای کمینه از خود نشان دادند. صادقی و همکاران (۱۳۹۱) با استفاده از داده‌های دمای کمینه ۱۳ ایستگاه سینوپتیک در دوره ۱۳۸۹-۱۳۶۸ و نمره Z به مطالعه روزهای فرین سرد و الگوی سینوپتیکی آن در شمال شرق ایران نشان دادند که دلیل نفوذ موج‌های سرد به این منطقه فرود موج بلند، موج کوتاه و سرددچاله‌ها هستند. لطفی و همکاران (۱۳۹۳)، به منظور بررسی تأثیر شهر بر دمای سالانه در شمال شرقی ایران با استفاده از داده‌های ایستگاه‌های بیرجند، مشهد، سبزوار و تربت‌حیدریه با استفاده از آزمون من-کندا و آزمون t در بازه زمانی ۱۹۶۰ تا ۲۰۱۱ نشان داده‌اند که روند دما در ایستگاه‌های داخل شهر و خارج شهر کاملاً متفاوت است. به طوری که دمای میانگین بیشینه و کمینه سالانه در ایستگاه‌های داخل محدوده شهری روند افزایشی نشان می‌دهند. در حالی که در ایستگاه‌های خارج از شهر دمای میانگین سالانه بدون روند بوده و دمای بیشینه ایستگاه‌های تربت‌حیدریه و دمای کمینه بیرجند روند کاهشی داشته است. احمدی و رادمنش (۱۳۹۳) در تحقیقی با عنوان بررسی روند تغییرات متوسط دمای ماهانه و سالانه نیمه شمالی

کشور در نیم قرن اخیر با استفاده از داده‌های ۱۸ ایستگاه همدید در بازه زمانی (۱۹۶۱-۲۰۱۰) با روش ناپارامتری من-کنдал با حذف اثر کلیه ضرایب خودهمبستگی و همچنین روش تخمین گر شیب سن، به‌منظور تعیین شیب خط روند دما نشان دادند که در مقیاس سالانه ۶۱ درصد ایستگاه‌ها روند افزایشی معنی‌دار را تجربه کردند و فقط ایستگاه‌های ارومیه، زنجان، قزوین و گرگان افزایش معنی‌دار در دما نداشتند. در این‌بین ایستگاه اراک روند کاهشی معنی‌دار و ایستگاه تربت‌حیدریه و سقز روند منفی غیر معنی‌دار را در مقیاس سالانه تجربه کردند. در مقیاس ماهانه تعداد دماهای با روند افزایشی بیشتر از تعداد ماههای با روند کاهشی بوده است به‌طورکلی دمای منطقه موردمطالعه در نیم قرن اخیر ۱,۱۵ درجه سانتی‌گراد افزایش یافته است. دارند (۱۳۹۴) در تحقیقی با عنوان ارزیابی و شناخت تغییر اقلیم ایران زمین طی دهه‌های اخیر با استفاده از داده‌های دمای کمینه و بیشینه ۱۴۳۷ ایستگاه همدیدی و اقلیمی در بازه زمانی ۱۳۴۰ تا ۱۳۸۱ نشان می‌دهد، نمایه‌های فرین گرم روزهای تابستانی، روزهای گرم و شب‌های گرم و شب‌های حاره‌ای در دوره موردمطالعه رو به افزایش است. در حالی‌که روند نمایه‌های فرین سرد رو به کاهش است، امواج گرمایی طولانی‌تر شده و بر عکس موج‌های سرد کوتاه‌تر شده‌اند. افزایش بیشتر نرخ دمای شبانه نسبت به دمای روزانه منجر به کاهش دامنه دمای شبانه‌روزی شده است. شمس و موسوی بایگی (۱۳۹۵)، در تحقیقی با عنوان بررسی نقطه شکست و روند تغییرات دامنه شبانه‌روزی دمای هوای شهر مشهد در بازه زمانی ۱۹۵۱ تا ۲۰۱۰ با استفاده از آزمون SNHT و کنдал-Tau نشان دادند که دامنه تغییرات شبانه‌روزی ایستگاه مشهد روند کاهشی داشته است. نقطه شکست در این سری زمانی در حوالی سال ۱۹۸۵ است. قاسمی پور و ناصرپور (۱۳۹۵) در تحلیل سینوپتیکی امواج گرم و سرد در سواحل جنوبی دریای کاسپین نشان دادند که ایستگاه انزلی و رشت کمترین فراوانی موج سرد و گرگان نیز کمترین فراوانی موج گرم را داشته‌اند. حلیان و همکاران (۱۳۹۶) در تحقیقی با عنوان ارزیابی تغییر دمای بیشینه و کمینه فصلی ایران با استفاده از آزمون آماری من-کنдал و پایگاه داده‌های یاخته‌ای در مقیاس جهانی موجود در تارنمای دانشگاه سانتا کلارا با تغییک مکانی نیم در نیم درجه نشان دادند که دمای بیشینه شمال غرب ایران و جنوبی در هر چهار فصل بدون روند است و در فصل زمستان کمترین پهنگ را در شمال شرق ایران به خود اختصاص می‌دهد. این در حالی‌که است که در فصل پاییز نواحی مرکزی و شمال غرب ایران دمای بیشینه پاییز بدون روند است و نواحی شرقی و فارس در این فصل دارای روند هست. دمای کمینه اکثر مناطق ایران روندی افزایشی دارد. علیزاده و همکاران (۱۳۹۶) در مطالعه‌ای با عنوان بررسی روند تغییرات دمای هوا در مناطق مختلف ایران با استفاده از داده‌های ۱۵ منطقه ایران در بازه زمانی ۱۹۵۱ تا ۲۰۱۳ نشان دادند که دمای کمینه، بیشینه و میانگین روزانه در بیشتر مناطق ایران روند افزایشی داشته است. روند افزایش دمای کمینه بیشتر از روند افزایش دمای بیشینه بوده است که عمده‌تاً ناشی از گسترش شهرسازی است که از طریق مسدود کردن تابش طول موج بلند خروجی، نقش مؤثری در افزایش دمای کمینه ایفا می‌کند. همچنین آلدگی هوای شهری باعث کاهش

تابش خورشیدی رسیده به سطح زمین می‌شود، بنابراین روند افزایش دمای بیشینه را کند می‌کند. در این مقاله سعی شده است به سؤالات زیر پاسخ داده شود:

الف: در دوره ۶۰ ساله، آیا روندی در تغییرات دمای بیشینه و کمینه ایستگاه‌های مورد مطالعه وجود دارد؟ و آیا این تغییرات فرآگیر است؟

ب: آیا بی‌هنگاری‌های دما در دوره‌های مورد مطالعه قابل ملاحظه و معنی دار است؟

ج: آیا بی‌هنگاری‌های دمای بیشینه و کمینه ایستگاه‌ها از روند یکسانی برخوردارند؟

به همین منظور هدف این مطالعه بررسی بی‌هنگاری‌های رفتاری فراسنج میانگین دمای کمینه و بیشینه در یک دوره ۶۰ ساله (۱۹۵۱-۲۰۱۰)، دو دوره ۳۰ ساله (۱۹۸۰-۱۹۵۱)، (۲۰۱۰-۱۹۸۱) و همچنین دو دوره ۱۰ ساله (۱۹۶۰-۱۹۵۱)، (۲۰۱۰-۲۰۰۱) برای شناسایی دوره‌های گرم و سرد فرآگیر و آشکارسازی تفاوت محلی آن است که می‌تواند گامی مؤثر در ضرورت توجه هر چه بیشتر به مدیریت بحران اقلیمی محسوب شود. شایان توجه است که هرچند داده‌های آماری از نظر کیفی بررسی شده‌اند و نتایج مثبتی داشته‌اند، ولی نمی‌توان به صورت کامل به داده‌ها اعتماد کرد؛ زیرا جابجایی حتی مختصر ایستگاه در حد کیلومتر، تغییر ابزار و ادوات اندازه‌گیری و نیز تغییر دیدبان‌ها با تجربیات و سطوح مهارتی مختلف به صورت دوره‌ای، می‌توانند از جمله عواملی باشند که کیفیت داده‌ها و نتیجه کار را تحت تأثیر قرار دهند.

۲- مواد و روش‌ها

داده‌های روزانه دمای بیشینه و کمینه دریافتی ایستگاه‌های همدید کشور از بدئ تأسیس تا سال ۲۰۱۰ از سازمان هواشناسی دریافت و با توجه به پایه آماری مشترک انتخابی برای یک دوره ۶۰ ساله (۱۹۵۱-۲۰۱۰)، از بین ۲۰۰ ایستگاه همدید، ۲۶ ایستگاه انتخاب و داده‌های آن‌ها با توجه به موارد پیشنهادی سازمان جهانی هواشناسی از نظر کیفی بررسی (WMO, No. ۸۵,۱۱۱,۳۰۶) و موارد خطای آماری تصحیح شد. سپس با استفاده از داده‌های دمای بیشینه و کمینه روزانه، میانگین دمای ماهانه این فراسنج‌ها تهیه و سپس میانگین، ضریب تغییرات و چولگی آن‌ها برای فصل بهار و تابستان و نیز دوره گرم برای یک بازه زمانی ۶۰ ساله (۱۹۵۱-۲۰۱۰)، دو دوره ۳۰ ساله (۱۹۸۰-۱۹۵۱) و (۱۹۸۱-۲۰۱۰) و دو دوره ۱۰ ساله (۱۹۶۰-۱۹۵۱) و (۲۰۱۰-۲۰۰۱) محاسبه شد. علاوه بر این به منظور آشکارسازی امواج گرم و سرد فرین و فرآگیر با استفاده از نرم‌افزار R ۲۰ درصد کمینه و بیشینه داده‌ها به عنوان شاخصی برای تعیین دوره‌های گرم و سرد برآورد شد. در مرحله بعد با استفاده از برنامه ماکروی تهیه شده آزمون من-کنдал و بکار گیری آن در نرم‌افزار مینی تب، معنی دار بودن روند داده‌های میانگین دمای کمینه و بیشینه فصل بهار، تابستان و دوره گرم در یک دوره ۶۰ ساله مشخص شد. برای بررسی چگونگی تغییرات دمای کمینه و بیشینه در مناطق مختلف کشور، آمارهای محاسبه شده به محیط GIS فراخوانی و با استفاده از روش IDW به نقشه‌های موضوعی تبدیل و سپس به

تحلیل آنها اقدام شد. شایان گفتن است که برای فصل بهار ماههای اپریل، می و جون، برای فصل تابستان ماههای زوئیه، اوت و سپتامبر و برای دوره گرم ماههای (اپریل - سپتامبر)، تعریف شده است.

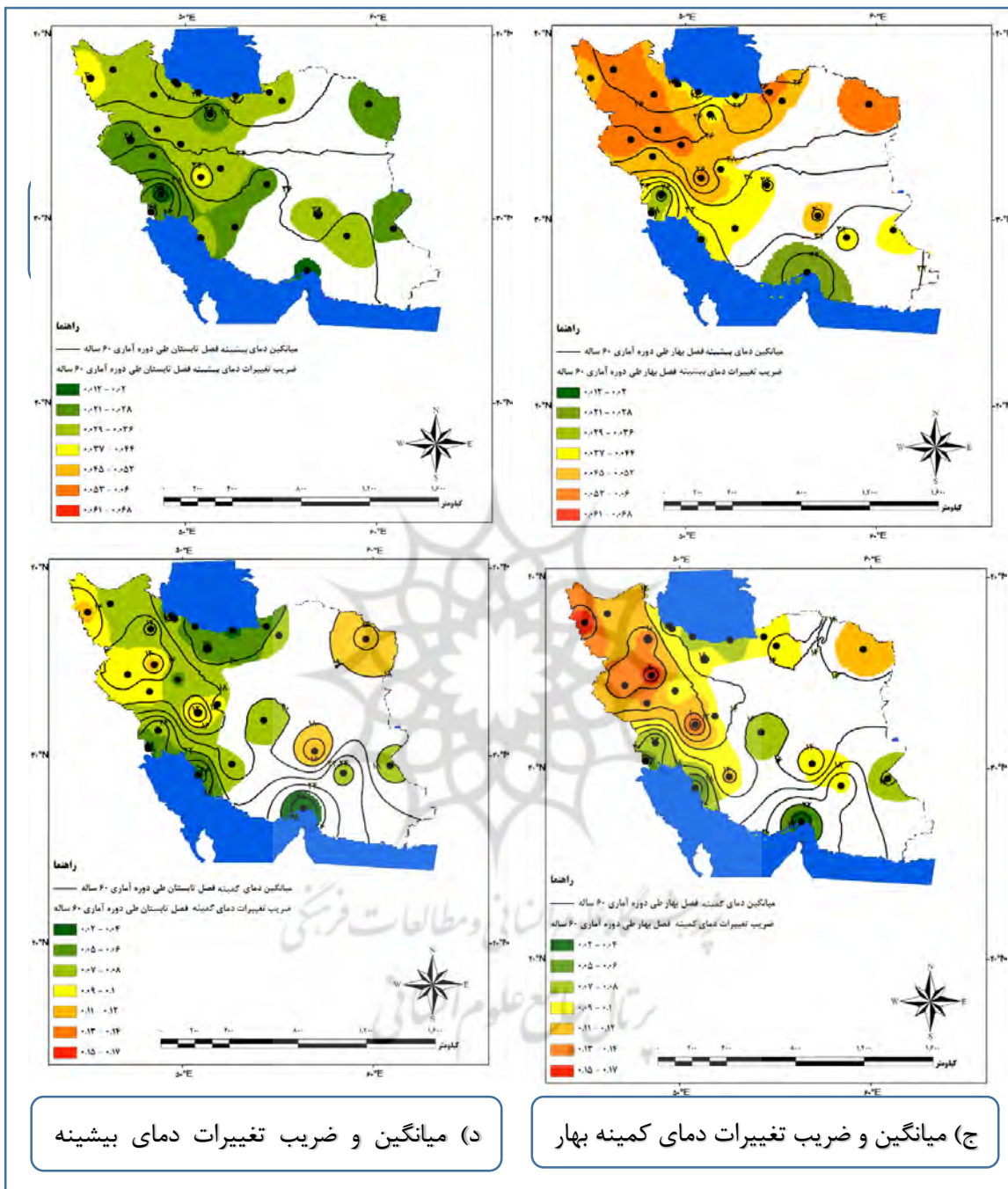
۳- نتایج و بحث

۱-۳- بررسی نقشه‌های میانگین و ضریب تغییرات دمای کمینه و بیشینه فصل بهار و تابستان

بررسی نقشه‌ها نشان می‌دهد که الگوی میانگین دمای کمینه و بیشینه فصل بهار (شکل ۱-الف و ج) و تابستان (شکل ۱-ب و د) در بازه‌های زمانی موردمطالعه با تغییراتی جزئی شبیه هم هستند؛ بنابراین سامانه‌های تأثیرگذار بر اقلیم ایران تغییرات چندانی نداشته و فقط از نظر شدت و وسعت عملکرد متفاوت هستند. الگوی ضریب تغییرات میانگین دمای کمینه و بیشینه در بازه زمانی ۳۰ ساله و ۱۰ ساله دوم، نسبت به ۳۰ ساله و ۱۰ ساله اول تغییرات جزئی را نشان می‌دهند که در نیمه غربی و حوزه کاسپین، نسبت به بقیه مناطق با تغییرپذیری بیشتری همراه است. بررسی و مقایسه نتایج نشان می‌دهد که در دوره ۳۰ ساله دوم نسبت به بازه زمانی ۳۰ ساله اول و ۶۰ ساله، به ترتیب ۶ ایستگاه بین (۱,۹-۰,۱) و ۵ ایستگاه بین (۰,۰-۱,۱) کاهش در میانگین دمای کمینه را تجربه کردند. بقیه ایستگاه‌ها طی همین مدت، با افزایشی بین (۰,۲-۰,۶) و (۰,۱-۱,۳) در میانگین دمای کمینه مواجه بوده‌اند. همچنین ۶ ایستگاه از ۲۶ ایستگاه در ۳۰ ساله دوم نسبت به ۳۰ ساله اول و ۶۰ ساله، به ترتیب (۰,۹-۰,۴) و (۰,۴-۰,۲) کاهش در میانگین دمای بیشینه و بقیه ایستگاه‌ها (۰,۲-۱,۴) و (۰,۱-۰,۷) افزایش داشته‌اند (شکل ۲ و ۳). آهنگ افزایش در میانگین حداقل دما کمتر ولی در میانگین حداقل دما بیشتر است، که سبب کاهش دامنه تغییرات شباهه‌روزی دما شده است. لازم به توضیح است که اختلاف دوره ۳۰ ساله دوم نسبت به دوره ۶۰ ساله، خیلی کمتر از اختلاف دوره ۳۰ ساله اول نسبت به ۳۰ ساله دوم است. یادآوری می‌شود که استفاده از رابطه خطی من کنال در دوره ۶۰ ساله نتوانسته است این تغییرات را به خوبی نشان دهد. به نظر می‌رسد نتایج مطالعاتی که تغییرات دما و روند آن را در دوره‌ای معین فقط با استفاده از روش من کنال، بررسی کرده‌اند ممکن است با واقعیت همخوانی نداشته باشد. (جدول ۱ تا ۴). به نظر می‌رسد که ارومیه و زنجان در ۳۰ ساله دوم تحت تأثیر بیشتر فعالیت سامانه‌های شمالی با هوای سرد قرارگرفته باشند. ازین‌رو با کاهش ۰,۳ تا ۰,۶ درجه در میانگین دمای بیشینه مواجه بوده‌اند. در مورد خرم‌آباد، شهرکرد و اراک چنین برداشت می‌شود که ورود سامانه‌های هوای سرد از شمال غرب و نفوذ سریع آنها در قالب راههای با امتداد شمال غرب-جنوب شرق و سپس تجمع و انشاست این هوای سرد نفوذی با توجه به آرایش ناهمواری‌ها در این مناطق، سبب شده است تا با کاهش میانگین دمای بیشینه فصل بهار مواجه شوند. انتظار می‌رود که با توجه به تمرکز جمعیت شهر اراک و همچنین صنعتی بودن آن به‌ویژه توسعه صنایع پتروشیمی، گسترش شهری، تغییر کاربری

۱ مقیاس دمایی در سرتاسر متن درجه سانتی گراد هست.

اراضی و ساخت‌وساز گسترده، در ۳۰ ساله دوم، بر مقدار میانگین دمای بیشینه تجربه شده آن افزوده شود، ولی شواهد کاهش میانگین ۶,۰ درجه این فراسنج را نشان می‌دهند که ممکن است به دلیل مصرف بیشتر مواد گازی نسبت به مواد سوختی جامد و مایع در مراکز صنعتی و خانگی باشد. در فصل تابستان به علت افزایش ارتفاع خورشید در نواحی جنوبی، افزایش ارتفاع خورشید و طول روز در نواحی شمالی، افزایش گرمای محسوس و همچنین نزول دینامیکی هوا زیر تراز ۷۰۰ هکتوپاسکال، ضخامت کم لایه‌مرزی شبانه و محبوس شدن طول موج بلند تابشی شبانه زمین در این لایه؛ رژیم دمایی یکنواخت شده و تغییرات بین ماهانه در این فصل دیده نمی‌شود. درنتیجه مقدار ضریب تغییرات میانگین دمای بیشینه و کمینه این فصل که میانگین آن‌ها دارای تغییرات بین سالانه کمی می‌باشند، بسیار ناچیز است. به نظر می‌رسد که اثرگذاری سامانه‌های با منشأ جنوبی و حاکمیت پر ارتفاع جنب حراره که موجب افزایش انرژی گرمایشی در دوره گرم سال می‌شوند، در دوره ۳۰ ساله دوم بیشتر بوده است (شکل ۳ تا ۵). آنچه در این ارتباط باید بیشتر موردتوجه قرارداد، جابجایی شمال سوی پرارتفاع جنب حراره از بهار به‌سوی تابستان و نوسانات روزانه آن است که از اوایل می، نیمه جنوبی کشور را به‌شدت تحت تأثیر قرار می‌دهد. افزایش میانگین دمای کمینه و بیشینه بیشتر ایستگاه‌ها در دوره ۳۰ ساله دوم نشان می‌دهد که صرف‌نظر از تغییرات دما در پهنه کشور که با پیچیدگی‌های متفاوتی همراه است و نشانه تأثیرگذاری متفاوت عوامل محلی بر روی سامانه‌های عبوری است، می‌توان چنین استنباط کرد که این تغییرات همسو و همگام با افزایش گرمایش جهانی بوده است. نتایج نشان می‌دهد شهرهایی که طی ۳۰ ساله دوم با رشد افسارگسیخته جمعیت و گسترش فضای کالبدی شهر مواجه بوده‌اند، افزایش بیشتری را در میانگین دمای بیشینه و بهویژه دمای کمینه تجربه کرده‌اند که نشانه تأثیر انسان در سامانه اقلیم است. مقایسه داده‌ها نشان می‌دهد که به‌غیر از ایستگاه تبریز و کرمانشاه در حوزه شمال‌غرب و غرب، بقیه ایستگاه‌های این حوزه با کاهش میانگین کمینه دمای تابستانه بین ۰,۳ تا ۱,۹ مواجه بوده‌اند (شکل ۴ و ۵) که می‌تواند علاوه بر کاهش ظرفیت رطوبت‌پذیری هوا و میزان تبخیر و تعرق؛ روی رطوبت خاک، دبی رودها و همچنین در مقدار تقاضای انرژی برای سرمایش واحدهای مسکونی، اداری و کارگاهی تأثیر بگذارد. به‌نظر می‌رسد که در دوره ۳۰ ساله دوم افزایش میانگین دمای کمینه ۲۰ ایستگاه، سبب تقویت پرارتفاع جنب حراره و حرکت شمال سوی آن تا نواحی شمالی دریایی کاسپین گردیده و موجب شده تا فضای مناسبی در سواحل جنوبی ایران، بهویژه از بندرعباس تا چابهار برای اثرگذاری سامانه‌های مونسونی فراهم شود.

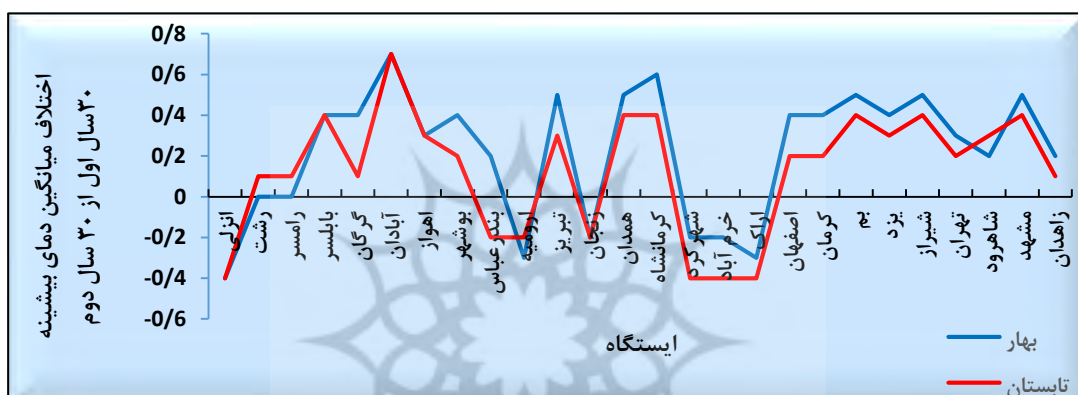


د) میانگین و ضریب تغییرات دمای بیشینه

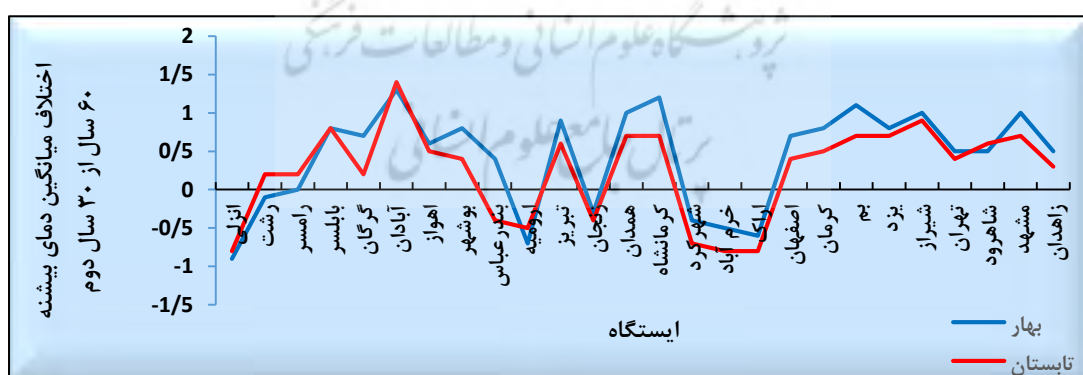
ج) میانگین و ضریب تغییرات دمای کمینه بهار

شكل ۱- الگوی میانگین و ضریب تغییرات دمای کمینه و بیشینه بهار و تابستان طی دوره آماری ۶۰ ساله
(۱۹۵۱-۲۰۱۰)

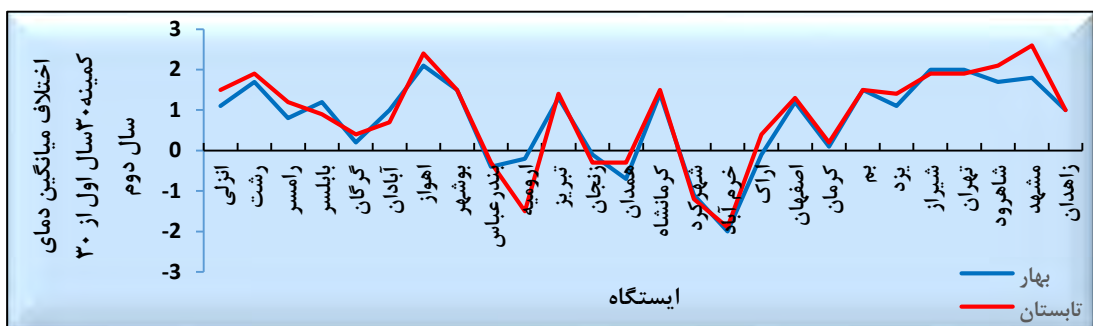
در نتیجه ممکن است که انتقال رطوبت و هوای سرد به همراه پدیده ابرناکی ناشی از تقویت نسیم دریا به خشکی و مونسون بیشتر شود که این نیز سبب کاهش میانگین کمینه دمای تجربه شده در ایستگاه بندرعباس به مقدار ۰,۳ درجه در ۳۰ ساله دوم نسبت به دوره ۳۰ سال اول، شده است (شکل ۴). ضریب تغییرات در نیمه غربی و شرقی در فصل تابستان بیشتر است. علت آن در نیمه غربی ناهمواری و تأثیرگذاری سامانه‌های ورودی به کشور است، ولی در نیمه شرقی موقعیت بری، دوری از منابع رطوبت و همچنین شرایط محلی منطقه، یعنی کویری بودن و آسمان صاف و فقر زیاد رطوبت نسبی که موجب شده است تا ضریب تغییرات مربوط به میانگین دمای کمینه تابستان این مناطق بالاتر باشد (شکل ۱-د).



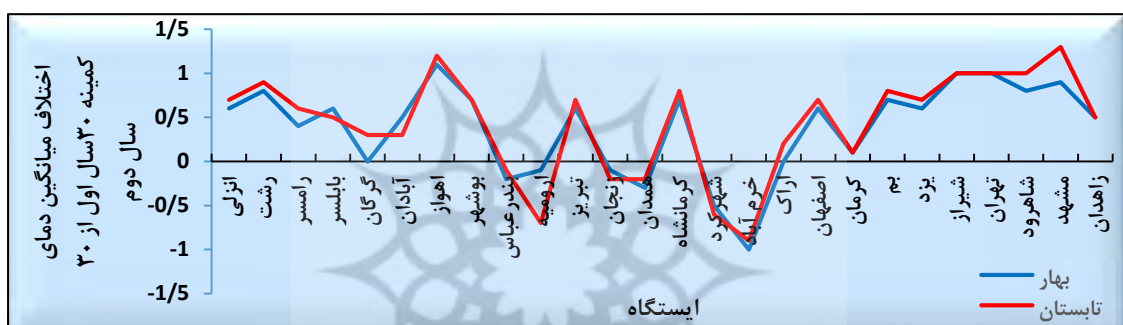
شکل ۲- اختلاف میانگین دمای بیشینه ۳۰ ساله اول (۱۹۵۱-۱۹۸۰) از ۳۰ سال دوم (۱۹۸۱-۲۰۱۰)-(بهار و تابستان)



شکل ۳- اختلاف میانگین دمای بیشینه ۶۰ ساله (۱۹۵۱-۲۰۱۰) از ۳۰ سال دوم (۱۹۸۱-۲۰۱۰)-(بهار و تابستان)



شکل ۴- اختلاف میانگین دمای کمینه ۳۰ ساله اول (۱۹۵۱-۱۹۸۰) از ۳۰ سال دوم (۱۹۸۱-۲۰۱۰)- (بهار و تابستان)



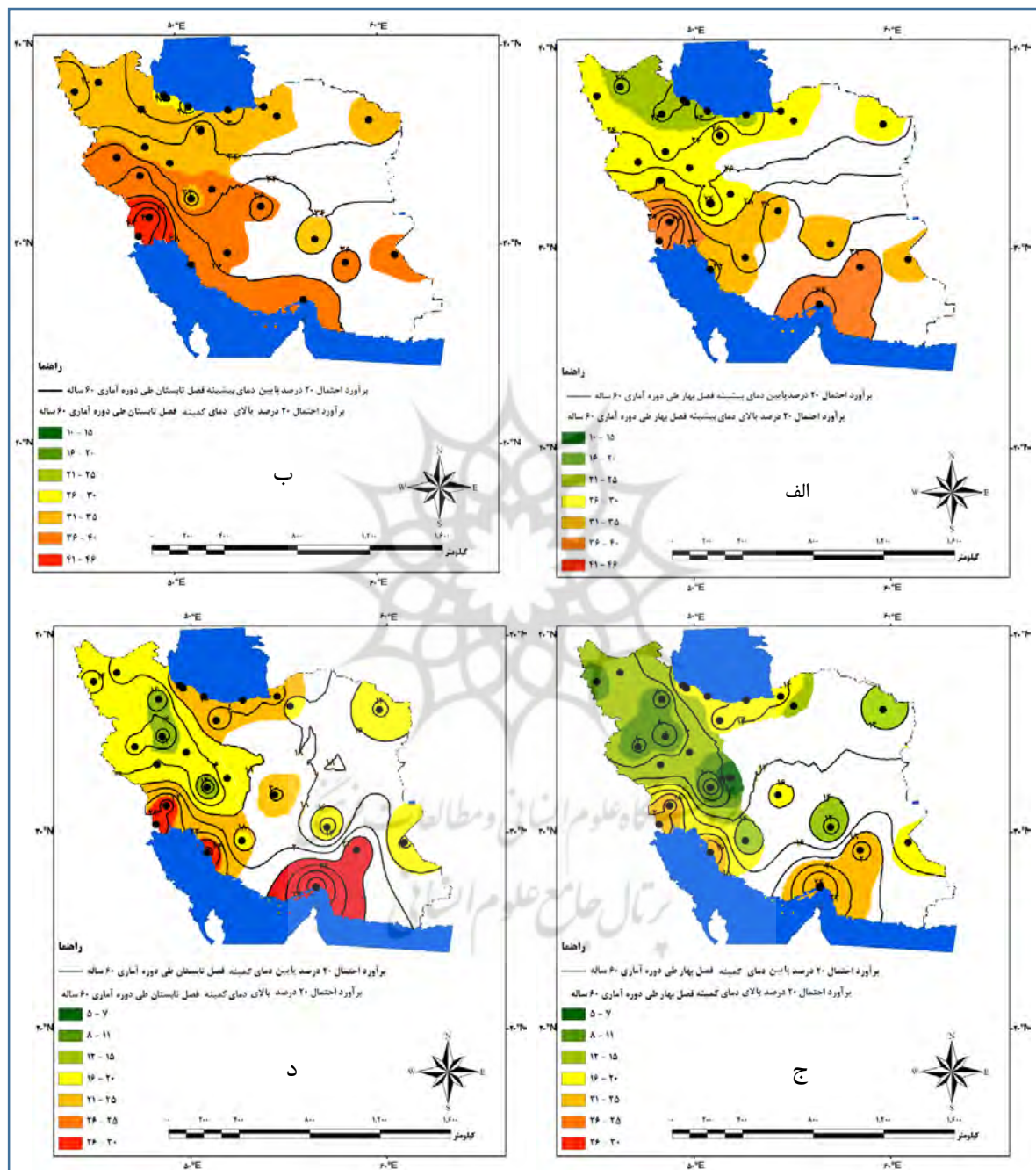
شکل ۵- اختلاف میانگین دمای کمینه ۶۰ ساله (۱۹۵۱-۲۰۱۰) از ۳۰ سال دوم (۱۹۸۱-۲۰۱۰)- (بهار و تابستان)

۲-۳- برآورد احتمال ۲۰ درصد حد بالای میانگین دمای بیشینه و ۲۰ درصد حد پایین میانگین دمای کمینه بهار و تابستان در دو دوره ۳۰ ساله

بررسی ۲۰ درصد حد بالای میانگین دمای بیشینه فصل بهار و تابستان در دوره ۳۰ ساله اول و دوم (شکل ۷ و ۸) و دوره ۶۰ ساله (شکل ۶-الف و ب) که بیانگر نفوذ دوره گرم فراگیر عرض‌های جنوبی و تشدید فعالیت پر ارتفاع دینامیکی جنوب‌حراره‌ای در این دو فصل هست، نشان می‌دهد که در دوره ۳۰ ساله دوم تواتر و گسترش نفوذ دوره گرم فصل بهار و تابستان افزایش یافته است (شکل ۷ و ۸). فصل بهار با عقب‌نشینی منطقه بارندگی از نواحی جنوبی و مرکزی ایران به سمت شمال و شمال غرب ازیک طرف و افزایش طول مدت تابش و ارتفاع خورشید از طرفی دیگر همراه است. نتیجه این فرآیند، افزایش میانگین دمای بیشینه ماهانه این مناطق در بهار و تابستان است. در نیمه شمالی، غربی و شمال غرب، میزان این افزایش کمتر است. در هر دو فصل در بازه زمانی ۳۰ ساله دوم، میانگین بیشینه دمای بیشینه افزایش داشته است و گستره عملکردی متفاوتی را نشان می‌دهد. بالاترین میانگین دمای بیشینه در جنوب غرب و جنوب تجربه می‌شود. در بخش مرکزی و نیمه شرقی به سبب وجود انرژی روزانه بیشتر طی

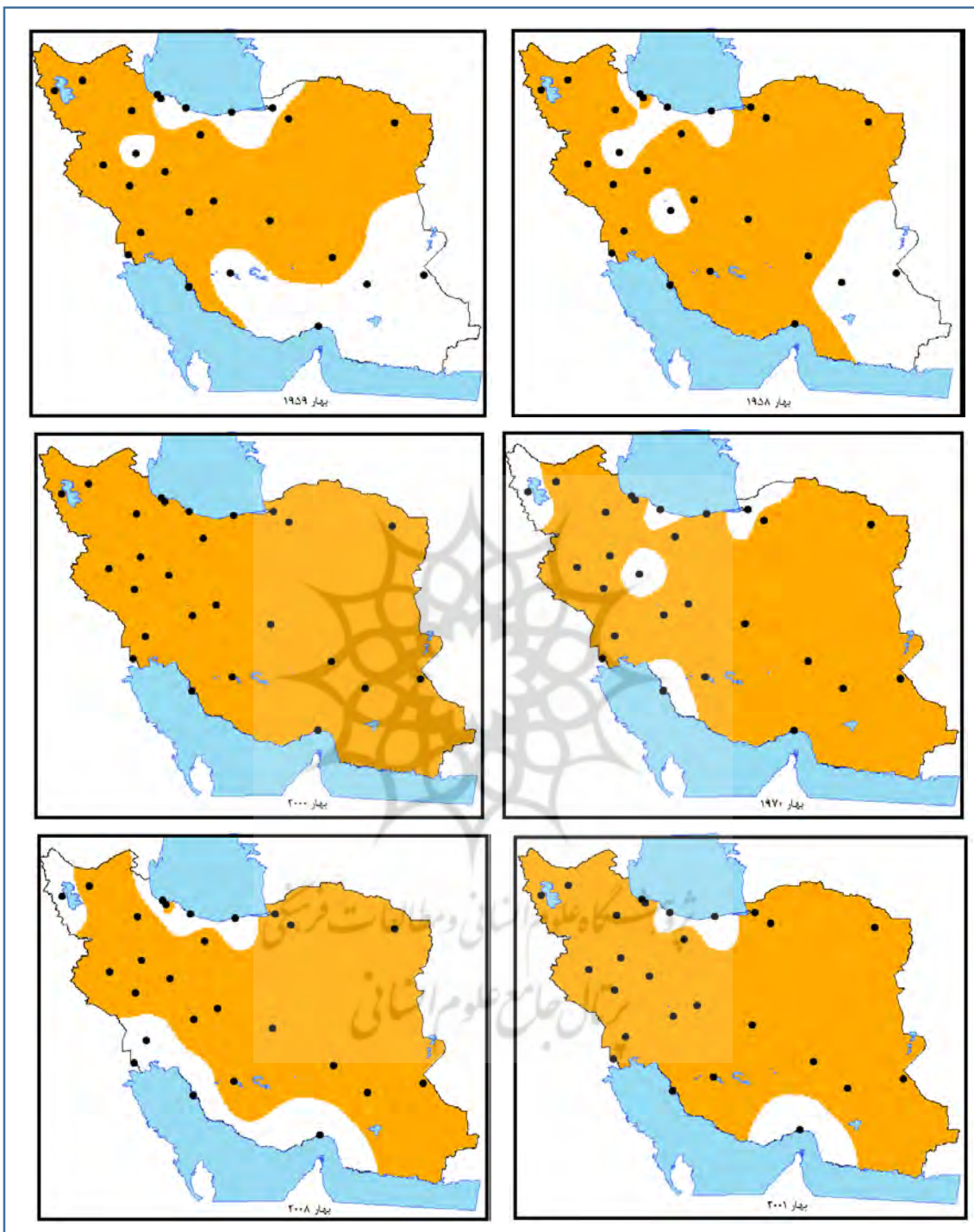
ماههای می تا اوت وبرتری آن نسبت به تابش شبانه، کم فشار گرمایی باضخامت نه چندان زیاد شکل می گیرد که از سازوکارهای نسبتاً پایدار و دائمی تابستان این منطقه به شمار می رود که دلیل موجهی برای بالا بودن دمای بیشینه تابستانه این مناطق است. واکاوی داده های ثبت شده ایستگاه های همدیدی نشان می دهد در ۳۰ ساله اول سه مورد دوره گرم فراغیر طی فصل بهار در سال های ۱۹۵۸، ۱۹۵۹ و ۱۹۷۰ در کشور تجربه شده است (شکل شکل ۷). در ۳۰ سال دوم در همین فصل، سال های ۲۰۰۸، ۲۰۰۱ و ۲۰۰۰ به عنوان گسترده ترین دوره گرم کشور به حساب می آیند (شکل ۷). نکته قابل توجه این است که سال ۲۰۰۰ در ۳۰ ساله دوم به عنوان فراغیر ترین دوره گرم کشور طی فصل بهار در این دوره و همچنین در بازه ۶۰ ساله بوده است. در مورد فصل تابستان نیز وضعیت همین گونه است. به طوری که سال های ۱۹۵۸، ۱۹۷۰ و ۱۹۷۵ به عنوان فراغیر ترین دوره گرم این فصل در ۳۰ سال اول محسوب می شود. در ۳۰ ساله دوم گسترده ترین رخداد دوره گرم کشور مربوط به سال های ۲۰۰۱، ۲۰۰۸، ۲۰۰۰ است (شکل ۸). بررسی ها نشان می دهد که رخداد بیشینه میانگین دمای بیشینه فراغیر در فصل بهار با بیشینه میانگین حداقل فراغیر تابستان به غیر از سال های ۱۹۵۹ و ۱۹۷۵ به صورت بی دربی رخداده است و با یکدیگر انطباق دارند (شکل ۷ و ۸). شکل های ۷ و ۸ به صورت ضمنی نشان دهنده ظهور شواهد تغییر اقلیم به صورت نسبی در کشور است، به گونه ای که شدت و فرکانس رخداد حد بالای میانگین دمای بیشینه فراغیر در فصل بهار و تابستان که نشان دهنده تسلط بیشتر دوره گرم محسوب می شود، در دوره ۳۰ ساله دوم بیشتر شده است. بررسی الگوی احتمال ۲۰ درصد حد پایین میانگین دمای کمینه برای دو دوره ۳۰ ساله (شکل ۹ و ۱۰) و دوره ۶۰ ساله (شکل ۶ ج و د) که بیانگر نفوذ هوای سرد نسبی شمالی فراغیر در فصل بهار و تابستان است، نشان می دهد که الگوهای تأثیرگذار بر روی دمای کشور با تغییرات جزئی، شیوه هم هستند. با توجه به تغییرات جزئی که در ۳۰ ساله دوم نسبت به ۳۰ ساله اول، به نظر می رسد که نیمه شمالی به ویژه سواحل کاسپین در دوره ۳۰ ساله دوم با افزایش بیشتر میانگین دمای کمینه مواجه بوده است (شکل شکل ۹ و ۱۰). درنتیجه چنین استتباط می شود که اثرگذاری توده های هوای سرد در ۳۰ ساله دوم ضعیفتر شده و یا از سرمای کمتری برخوردارند. برآیند این وضعیت کاهش دامنه تغییرات دمای شبانه روز و درنتیجه تغییر در دوره رشد، میزان آبدی رودها و نیاز به تأسیسات سرمایشی و گرمایشی منطقه ای هست. در هر دو فصل بهار و تابستان طی دوره آماری ۳۰ ساله دوم نسبت به دوره ۳۰ ساله اول، تواتر و محدوده اثرات دوره سرد فراغیر بیشتر شده است. به طوری که از شکل ۹ دریافت می شود سال های ۱۹۵۶، ۱۹۵۷ و ۱۹۶۷ به عنوان فراغیر ترین دوره های سرد ۳۰ ساله اول فصل بهار بوده که اثرات آن در ۱۴ تا ۲۴ ایستگاه همدیدی کشور مشاهده می شود. در حالی که در ۳۰ سال دوم (شکل ۹)، بین ۱۷ تا ۲۶ ایستگاه را طی سال های ۱۹۸۱، ۱۹۸۴ و ۱۹۹۲ شامل می شود که نشان دهنده تأثیرگذاری بیشتر سامانه های سرد مهاجر و نفوذ بیشتر سرما در گستره کشور طی فصل بهار است. بررسی فراسنج فوق در فصل تابستان نشان می دهد که در دوره ۳۰ ساله دوم فراغیر ترین دوره های سرد طی سال های ۱۹۸۲،

و ۱۹۸۵-۱۹۹۲ بوده است. در حالی که طی ۳۰ سال اول بین ۱۳ تا ۱۶ ایستگاه همدیدی در سال‌های ۱۹۷۲، ۱۹۷۸ و ۱۹۷۹ تحت تأثیر دوره سرد قرار گرفتند (شکل ۱۰).



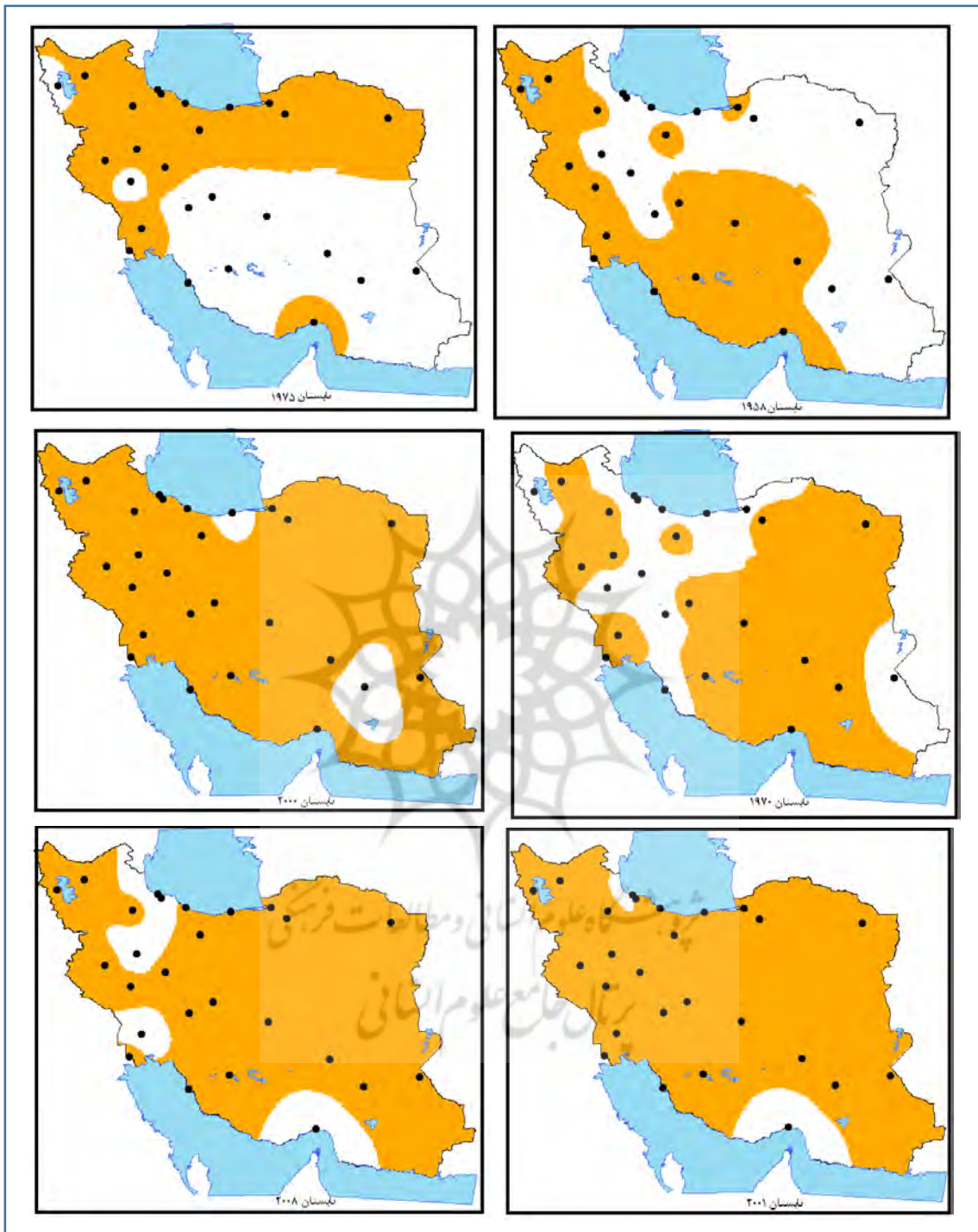
شکل ۶-۱۰- الگوی ۲۰ درصد حد بالا و پایین دمای کمینه و بیشینه بهار و نابستان طی دوره آماری ۶۰ ساله

(۱۹۵۱-۲۰۱۰)

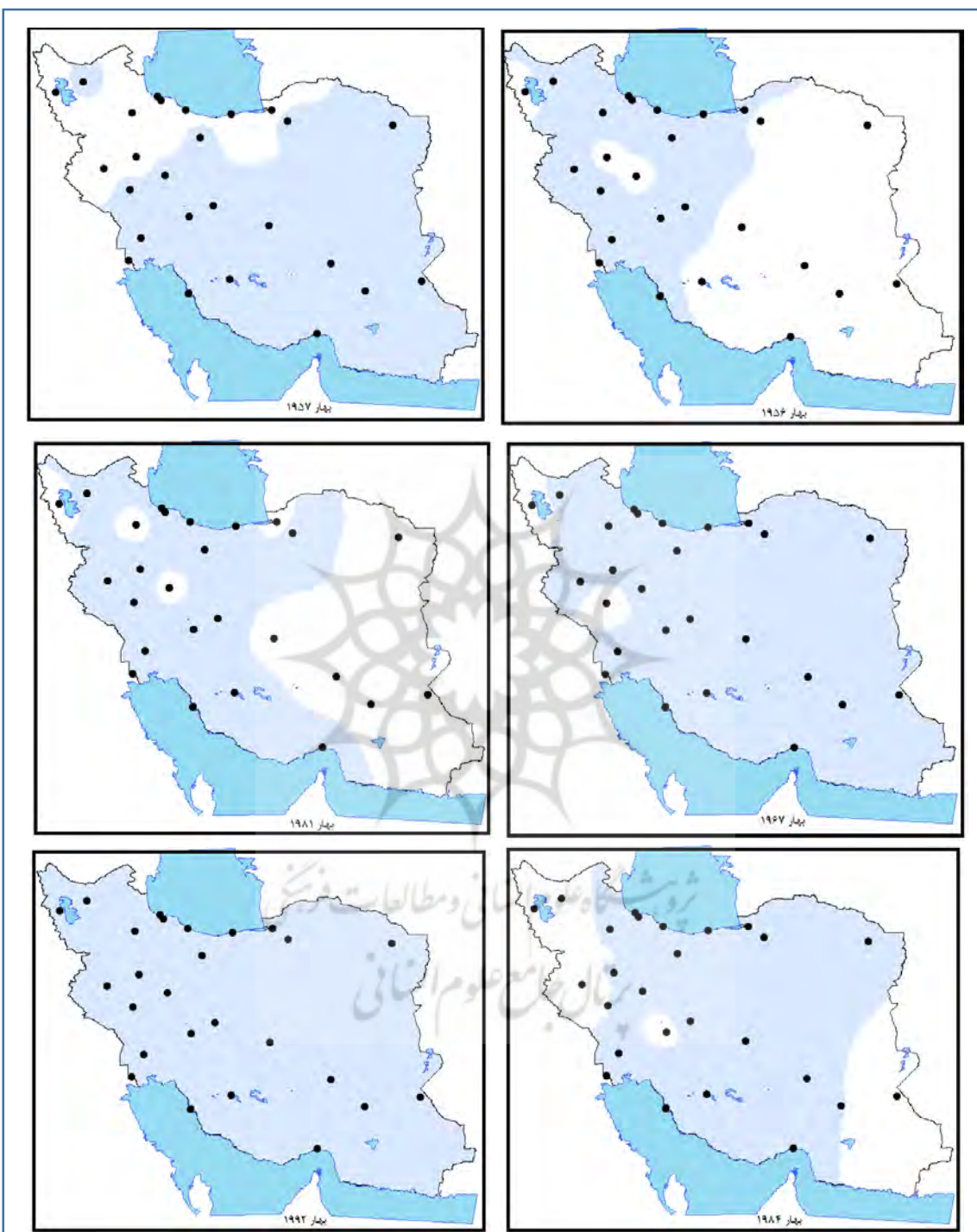


شکل ۷-۲۰ درصد حد بالای میانگین دمای بیشینه طی فصل بهار

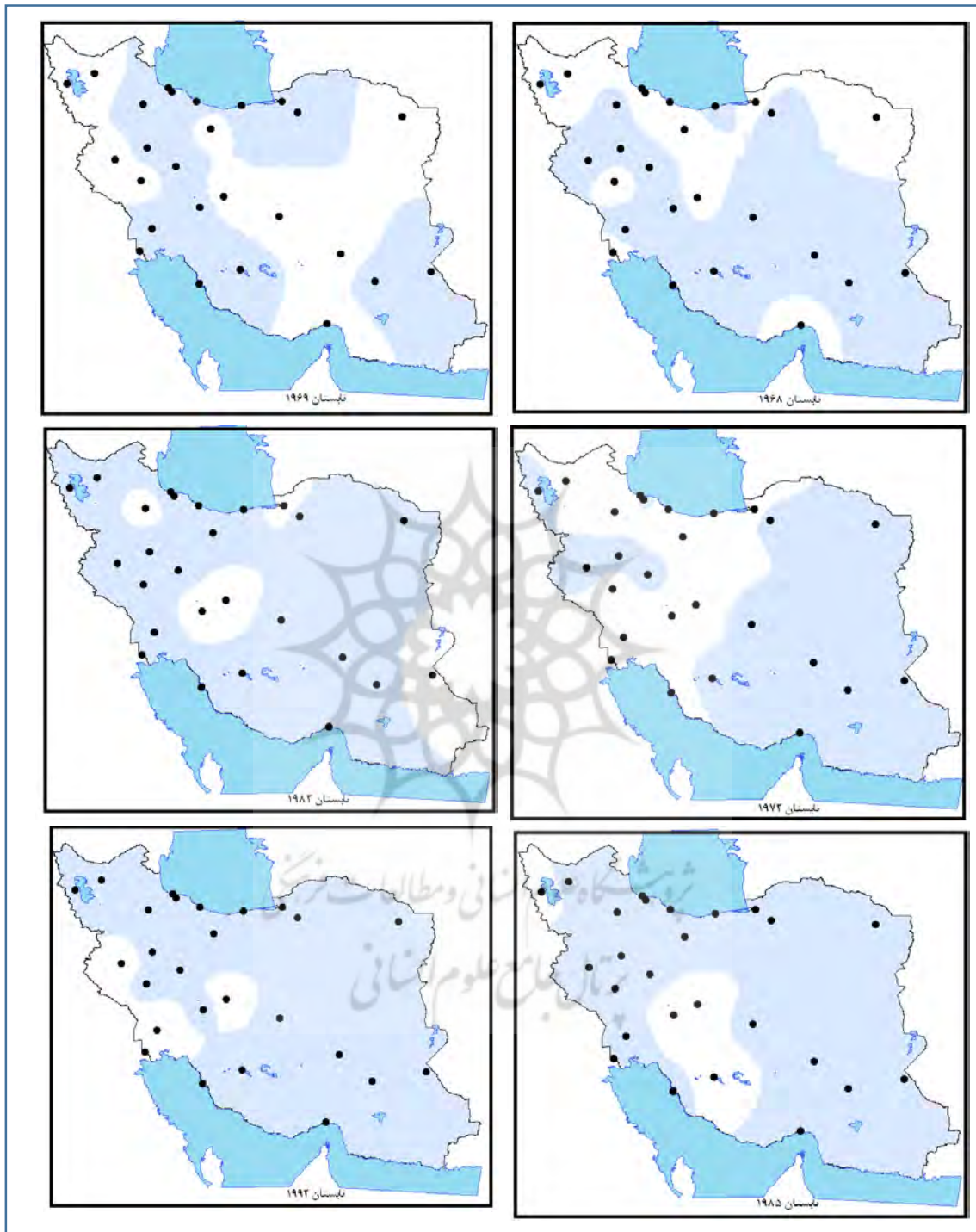
*سال
بهار
۱۹۵۹
۱۹۵۸
۱۹۷۰
۱۹۷۱
۲۰۰۸
۲۰۰۱*



شکل ۸-۲۰ درصد حد بالای میانگین دمای بیشینه طی فصل تابستان



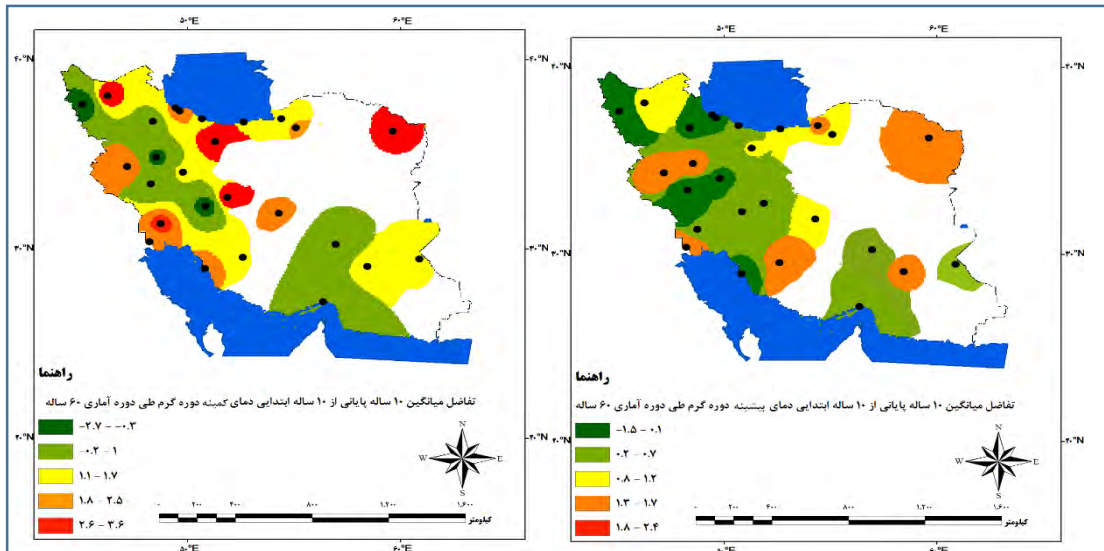
شکل ۹-۲۰ درصد حد پایین میانگین دمای کمینه طی فصل بهار



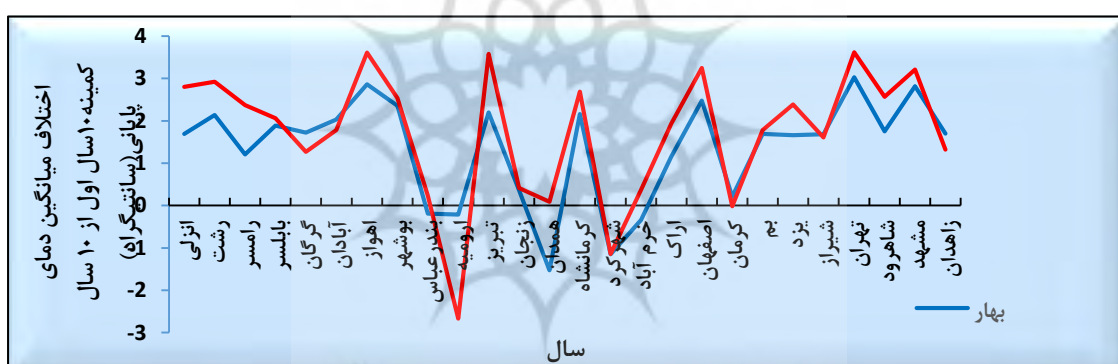
شکل ۱۰-۲۰ درصد حد پایین میانگین دمای کمینه طی فصل تابستان

۳-۳- بررسی نقشه‌های تفاضل میانگین دمای کمینه و بیشینه ۱۰ ساله اول از ۱۰ ساله آخر در فصول بهار و تابستان

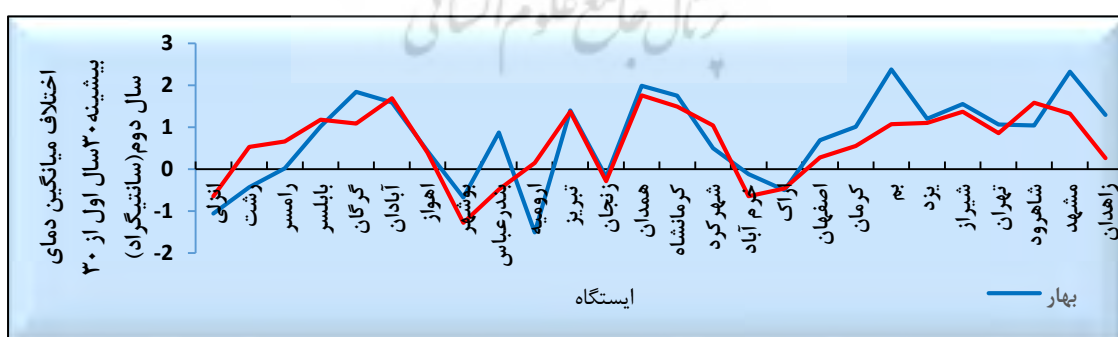
بررسی الگوها (شکل ۱۱) نشان می‌دهد که در فصل بهار به‌غیر از بندرعباس در نیمه جنوبی و ۴ ایستگاه از حوزه شمال‌غرب و غرب، که بین ۰,۲ تا ۱,۵ درجه با کاهش در میانگین دمای کمینه مواجه بوده‌اند، بقیه ایستگاه‌ها ۰,۲۱ - ۰,۳ درجه، افزایش میانگین این فراسنج تجربه کرده‌اند. از طرف دیگر بیشترین مقدار افزایش مربوط به ایستگاه‌های تهران، مشهد، اهواز، اصفهان، بوشهر، کرمانشاه، تبریز و آبادان بوده که بین ۰,۳ و ۰,۰۳ در آبادان تا ۰,۳ در تهران تغییر داشته است. شکل ۱۲ نشان می‌دهد که به‌غیر از ایستگاه زنجان و کرمان که به ترتیب با ۰,۳ و ۰,۲ افزایش در میانگین دمای کمینه مواجه بوده‌اند، بقیه ایستگاه‌ها مقدار افزایشی بین ۰,۰۳ تا ۰,۳ را تجربه کرده‌اند. شایان گفتن است گرچه طی فصل بهار، نیمه شمالی کشور هنوز تحت سلطه پر ارتفاع جنب حراره قرار نگرفته است، ولی مقدار افزایش میانگین دمای کمینه ایستگاه‌هایی مانند تهران، رشت، مشهد و تبریز بالاتر از ۰,۲ است. چنین افزایشی می‌تواند با توجه به تغییر کاربری اراضی، گسترش شهرها، افزایش جمعیت و درنتیجه افزایش گازهای گلخانه‌ای و افزایش سامانه‌های گرمایزا و جابجایی ایستگاه توجیه شود که می‌تواند تغییراتی در اقلیم منطقه ایجاد کنند. همچنین در مورد بندرعباس که کاهش میانگین دمای کمینه را در دوره ۱۰ ساله دوم تجربه کرده است، چنان‌که قبلًا گفته شد به نظر می‌رسد که تقویت بیشتر پدیده نسیم دریا و خشکی و نیز تأثیرگذاری بیشتر مونسون در این دوره، چنین کاهشی را موجب شده باشد. همچنین با توجه به فرآگیر بودن افزایش دما در بازه زمانی ۱۰ ساله آخر در کشور، به نظر می‌رسد که میانگین دمای کمینه ایستگاه‌هایی مانند ارومیه و خرم‌آباد که حداقل ۰,۳ هست، ناشی از خطای انسانی در محاسبات و برآورد داده‌ها باشد. ولی در مورد همدان و شهرکرد باید به دقت بررسی شود. گرچه این تغییرات می‌تواند ناشی از ارتفاع و موقعیت جغرافیایی و تأثیرگذاری متفاوت سامانه‌های عبوری در آن‌ها باشد. به همین ترتیب مشاهده و بررسی نقشه‌ها و داده‌های مربوط به میانگین دمای کمینه فصل تابستان (شکل ۱۲) ایستگاه‌های موردمطالعه در بازه ۱۰ ساله آخر نشان می‌دهد که به‌غیر از ایستگاه‌های ارومیه، شهرکرد و کرمان که بین ۰,۰۲ تا ۰,۶۶ کاهش داشته‌اند، مابقی ایستگاه‌ها در ۱۰ ساله پایانی بین ۰,۰۸ در همدان تا ۰,۱۶ در تهران افزایش داشته‌اند. ایستگاه‌های تهران، اهواز، تبریز، اصفهان و مشهد بیشترین افزایش در میانگین بیشینه دما را در دهه دوم تجربه کرده‌اند که دلایل آن مشابه مواردی است که در فصل بهار بیان گردید. مقایسه داده‌ها نشان می‌دهد که مقدار افزایش دمای بیشینه فصل تابستان نسبت به فراسنج متاخر آن در فصل بهار در اغلب ایستگاه‌ها جهش کمتری داشته است. به نظر می‌رسد دلیل آن کاهش فراوانی تهاجم هوای سرد نسبی و همچنین سامانه‌های همرفتی در فصل بهار نسبت به فصل تابستان و همگونی بیشتر کشور از نظر دمایی در فصل تابستان باشد. گرچه طی تابستان در نیمه شمالی کشور، زاویه تابش کم است ولی طول روز افزایش می‌یابد و اختلاف نسبی موجود، ناشی از ارتفاع و جهت ناهمواری‌ها است.



شکل ۱۱- تفاضل میانگین دمای کمینه و بیشینه ۱۰ ساله اول (۱۹۵۱-۱۹۶۰) از ۱۰ ساله آخر (۲۰۰۱-۲۰۱۰) در فصول بهار و تابستان



شکل ۱۲- اختلاف میانگین دمای کمینه دهه ۱۹۵۰-۱۹۶۱ از فراسنح متناظر آن در دهه ۲۰۰۱-۲۰۱۰ در فصل بهار و تابستان



شکل ۱۳- اختلاف میانگین دمای بیشینه دهه ۱۹۵۰-۱۹۶۱ از فراسنح متناظر آن در دهه ۲۰۰۱-۲۰۱۰ در فصل بهار و تابستان

۳-۴- روند یابی تغییرات میانگین دمای کمینه و بیشینه در فصل بهار و تابستان طی دوره آماری ۶۰ ساله پردازش داده‌ها و بکارگیری آزمون آماری منکنال در مورد داده‌های میانگین دمای کمینه و بیشینه بهمنظور آشکارسازی روند تغییرات و نوع آن‌ها برای بازه‌ی زمانی ۶۰ ساله، در فصل بهار و تابستان نشان می‌دهد که میانگین دمای کمینه ۲۱ ایستگاه از ۲۶ ایستگاه مورد مطالعه در فصل بهار و همچنین ۲۲ ایستگاه در فصل تابستان، دارای روند معنادار بوده‌اند (جدول ۱ و ۲). در مورد میانگین دمای کمینه فصل بهار فقط ایستگاه شهرکرد و برای فصل تابستان ایستگاه‌های ارومیه، شهرکرد، رشت و رامسر دارای روند کاهشی بوده‌اند و مابقی ایستگاه‌ها در هر دو فصل، افزایش دمای کمینه را تجربه کرده‌اند که همسوئی با گرمایش جهانی و رخداد تغییر اقلیم در ایران را به نمایش می‌گذارند. بررسی داده‌های میانگین بیشینه دمای ماهانه فصل‌های بهار و تابستان (جدول ۳ و ۴) با توجه به نتایج آزمون خطی منکنال نشان می‌دهد که در فصل بهار و تابستان به ترتیب به جز ۶ و ۱۰ ایستگاه، بقیه ایستگاه‌ها دارای روند معنی‌دار بوده‌اند که همه آن‌ها روند افزایشی داشته‌اند. بررسی داده‌ها نشان می‌دهد، از بین ایستگاه‌های مشترکی که طبق آزمون منکنال در آماره‌های دمای میانگین کمینه و بیشینه فصل‌های بهار و تابستان روند معنی‌دار داشته‌اند، فقط شش ایستگاه در فصل تابستان به‌طور نسبی دامنه تغییرات دمای شباهنگ‌روزی آن‌ها، تغییر کمی داشته‌اند. آهنگ تغییرات افزایش میانگین دمای کمینه ایستگاه‌ها شدیدتر از آهنگ افزایش میانگین دمای بیشینه بوده است؛ بنابراین لزوم توجه و تأکید بر پیامدهای تغییر الگوهای دمایی کشور از سوی مدیران بیش از پیش احساس می‌شود. آنچه چنین الزامی را سبب می‌شود، آهنگ افزایش میانگین دمای کمینه و انحراف از میانگین بلندمدت ۶۰ ساله آن در مناطق مختلف کشور است که به شدت دامنه تغییرات شباهنگ‌روزی دما را در پنهانه کشور کاهش می‌دهد. نتیجه این که افزایش تعداد شباهای گرم به دنبال افزایش دمای کمینه و کاهش دامنه تغییرات شباهنگ‌روزی دما، می‌تواند خطر رخدادهای فرین اقلیمی در کشور را افزایش دهد و در نتیجه، ضمن افزایش آسیب‌پذیری مردم؛ پیامدهای اقتصادی- اجتماعی و زیست‌محیطی شدیدی را موجب گردد.

جدول ۱- روند یابی تغییرات دمای کمینه فصل بهار طی دوره آماری ۶۰ ساله

بهار									
جهت نمود	سال مطابق هر ۱۰ سال	رنج ۴۰-۴۴	P-value	یکنگ	جهت نمود	سال مطابق هر ۱۰ سال	رنج ۴۰-۴۴	P-value	یکنگ
$Yt = 12.4 + 0.05 * t$	۰,۴۸	افزایش	۰,۰۰	رامسر	$Yt = 21.3 + 0.04 * t$	۰,۴	افزایش	۰,۰۰	آبادان
$Yt = 12. + 0.032 * t$	۰,۳۲	افزایش	۰,۰۰	رشت	$Yt = 20 + 0.066 * t$	۰,۶۶	افزایش	۰,۰۰	اهواز
$Yt = 7.7 - 0.026 * t$	۰,۲۶	کاهش	۰,۰۰	شهرکرد	$Yt = 14.4 + 0.04 * t$	۰,۴	افزایش	۰,۰۰	انزلی

ادامه جدول ۱

بهار									
معادله خط	مقدار هر ۱۰ سال	نوع روند	P-value	اسنگان	معادله خط	مقدار هر ۱۰ سال	نوع روند	P-value	اسنگان
$Y_t = 11.7 + 0.05 * t$	۰,۵	افزایش	۰,۰۰	شهرود	$Y_t = 10.6 + 0.01 * t$	۰,۱	افزایش	۰,۰۰	اراک
$Y_t = 11.5 + 0.05 * t$	۰,۵	افزایش	۰,۰۰	شیراز	$Y_t = 14.7 + 0.04 * t$	۰,۴	افزایش	۰,۰۰	بابلسر
$Y_t = 9.3 + 0.04 * t$	۰,۴	افزایش	۰,۰۰	تبریز	$Y_t = 20.5 + 0.04 * t$	۰,۴	افزایش	۰,۰۰	بم
$Y_t = 14.2 + 0.07 * t$	۰,۷	افزایش	۰,۰۰	تهران	$Y_t = 21.4 + 0.05 * t$	۰,۵	افزایش	۰,۰۰	بوشهر
$Y_t = 16.4 + 0.04 * t$	۰,۴	افزایش	۰,۰۰	یزد	$Y_t = 12.5 + 0.04 * t$	۰,۴	افزایش	۰,۰۰	اصفهان
$Y_t = 14.8 + 0.03 * t$	۰,۳۴	افزایش	۰,۰۰	زاهدان	$Y_t = 12 + 0.01 * t$	۰,۱	افزایش	۰,۰۴	کرمان
$Y_t = 13.8 + 0.06 * t$	۰,۶	افزایش	۰,۰۰	مشهد	$Y_t = 7.2 + 0.05 * t$	۰,۵	افزایش	۰,۰۰	کرمانشاه
					$Y_t = 12.6 + 0.03 * t$	۰,۳	افزایش	۰,۰۱	خرمآباد

جدول ۲- روند یابی تغییرات دمای کمینه فصل تابستان طی دوره آماری ۶۰ ساله

تابستان									
معادله خط	مقدار هر ۱۰ سال	نوع روند	P-value	اسنگان	معادله خط	مقدار هر ۱۰ سال	نوع روند	P-value	اسنگان
$Y_t = 13.87 + 0.06 * t$	۰,۶	افزایش	۰,۰۰	مشهد	$Y_t = 25.3 + 0.02 * t$	۰,۴	افزایش	۰,۰۰	آبادان
$Y_t = 16.1 - 0.055 * t$	۰,۵۵	کاهش	۰,۰۰	ارومیه	$Y_t = 23.9 + 0.07 * t$	۰,۷۳	افزایش	۰,۰۰	اهواز
$Y_t = 19.9 - 0.036 * t$	۰,۳۶	کاهش	۰,۰۰	رامسر	$Y_t = 19.9 + 0.04 * t$	۰,۴	افزایش	۰,۰۰	ائزده
$Y_t = 17.7 - 0.052 * t$	۰,۵۳	کاهش	۰,۰۰	رشت	$Y_t = 15.8 + 0.02 * t$	۰,۱	افزایش	۰,۰۰	اراک
$Y_t = 12.3 - 0.032 * t$	۰,۳۲	کاهش	۰,۰۰	شهرکرد	$Y_t = 20.6 + 0.03 * t$	۰,۴	افزایش	۰,۰۰	بابلسر
$Y_t = 16.5 + 0.055 * t$	۰,۵۵	افزایش	۰,۰۰	شهرود	$Y_t = 23.8 + 0.039 * t$	۰,۴۲	افزایش	۰,۰۰	بم
$Y_t = 16.9 + 0.048 * t$	۰,۴۸	افزایش	۰,۰۰	شیراز	$Y_t = 25.8 + 0.048 * t$	۰,۵	افزایش	۰,۰۰	بوشهر
$Y_t = 16 + 0.052 * t$	۰,۵۲	افزایش	۰,۰۰	تبریز	$Y_t = 16.9 + 0.045 * t$	۰,۴	افزایش	۰,۰۰	اصفهان

ادامه جدول ۲

تایستان											
معادله خط	معادله خط	در هر ۱۰ سال	معی روند	P-value	اسنگاه	معادله خط	معادله خط	در هر ۱۰ سال	معی روند	P-value	اسنگاه
$Yt = 20.3 + 0.063 * t$	$Yt = 21.3 + 0.013 * t$	۰,۷	افزایش	۰,۰۰	تهران	$Yt = 13 + 0.048 * t$	$Yt = 18.2 + 0.03 * t$	۰,۱۳	افزایش	۰,۰۹	گرگان
$Yt = 20 + 0.044 * t$	$Yt = 13 + 0.048 * t$	۰,۴	افزایش	۰,۰۰	یزد	$Yt = 18.2 + 0.03 * t$	$Yt = 21.3 + 0.013 * t$	۰,۴۸	افزایش	۰,۰۰	کرمانشاه
$Yt = 14.8 + 0.034 * t$	$Yt = 14.8 + 0.034 * t$	۰,۳۴	افزایش	۰,۰۰	زاهدان	$Yt = 21.3 + 0.013 * t$	$Yt = 22.8 + 0.04 * t$	۰,۳	افزایش	۰,۰۵	خرمآباد

جدول ۳- روند یابی تغییرات دمای بیشینه فصل بهار طی دوره آماری ۶۰ ساله

بهار											
معادله بخط	معادله بخط	مقدار هر ۱۰ سال	معی روند	P-value	اسنگاه	معادله بخط	معادله بخط	مقدار هر ۱۰ سال	معی روند	P-value	اسنگاه
$Yt = 35.1 + 0.01 * t$	$Yt = 37.2 + 0.04 * t$	۰,۲	افزایش	۰,۰۰	بندرعباس	$Yt = 25.4 + 0.04 * t$	$Yt = 22.3 + 0.03 * t$	۰,۴	افزایش	۰,۰۰	آبادان
$Yt = 25.4 + 0.04 * t$	$Yt = 38.1 + 0.02 * t$	۰,۶	افزایش	۰,۰۰	مشهد	$Yt = 25.7 + 0.02 * t$	$Yt = 22.3 + 0.02 * t$	۰,۲	افزایش	۰,۰۲	اهواز
$Yt = 25.7 + 0.02 * t$	$Yt = 22.3 + 0.03 * t$	۰,۳	افزایش	۰,۰۰	ارومیه	$Yt = 25.6 + 0.01 * t$	$Yt = 22.3 + 0.02 * t$	۰,۳	افزایش	۰,۰۰	انزلی
$Yt = 25.6 + 0.01 * t$	$Yt = 22.3 + 0.02 * t$	۰,۲	افزایش	۰,۰۰	شهرورد	$Yt = 29.3 + 0.03 * t$	$Yt = 33.3 + 0.04 * t$	۰,۲	افزایش	۰,۰۰	بابلسر
$Yt = 29.3 + 0.03 * t$	$Yt = 33.3 + 0.04 * t$	۰,۳	افزایش	۰,۰۰	شیراز	$Yt = 21.8 + 0.03 * t$	$Yt = 33.1 + 0.01 * t$	۰,۴	افزایش	۰,۰۰	بم
$Yt = 21.8 + 0.03 * t$	$Yt = 33.1 + 0.01 * t$	۰,۳	افزایش	۰,۰۰	تبیز	$Yt = 27.4 + 0.02 * t$	$Yt = 25.4 + 0.04 * t$	۰,۱	افزایش	۰,۰۰	بوشهر
$Yt = 27.4 + 0.02 * t$	$Yt = 25.4 + 0.04 * t$	۰,۲	افزایش	۰,۰۰	تهران	$Yt = 31.3 + 0.03 * t$	$Yt = 27.8 + 0.02 * t$	۰,۴	افزایش	۰,۰۰	کرمانشاه
$Yt = 31.3 + 0.03 * t$	$Yt = 27.8 + 0.02 * t$	۰,۳	افزایش	۰,۰۰	یزد	$Yt = 31.5 + 0.02 * t$	$Yt = 25.3 + 0.03 * t$	۰,۲	افزایش	۰,۰۱	اصفهان
$Yt = 31.5 + 0.02 * t$	$Yt = 25.3 + 0.03 * t$	۰,۳	افزایش	۰,۰۰	زاهدان	$Yt = 29.1 + 0.02 * t$	$Yt = 22.8 + 0.04 * t$	۰,۳	افزایش	۰,۰۱	گرگان
$Yt = 29.1 + 0.02 * t$	$Yt = 22.8 + 0.04 * t$	۰,۲	افزایش	۰,۰۱	کرمان			۰,۴	افزایش	۰,۰۰	همدان

جدول ۴- روند یابی تغییرات دمای بیشینه فصل تابستان طی دوره آماری ۶۰ ساله

تابستان									
جهت	۱۰ سال هر مر	جهت رونده	P-value	ایستگاه	جهت	۱۰ سال هر مر	جهت رونده	P-value	ایستگاه
$Yt = 27.4 + 0.01 * t$	۰,۱	افزایش	۰,۰۴	رامسر	$Yt = 43.3 + 0.04 * t$	۰,۴	افزایش	۰,۰۰	آبادان
$Yt = 30.7 + 0.03 * t$	۰,۳	افزایش	۰,۰۰	شهرورد	$Yt = 44.5 + 0.01 * t$	۰,۱	افزایش	۰,۰۰	اهواز
$Yt = 35.4 + 0.03 * t$	۰,۳	افزایش	۰,۰۰	شیرواز	$Yt = 28.7 - 0.02 * t$	۰,۲	کاهش	۰,۰۰	انزلی
$Yt = 30.5 + 0.02 * t$	۰,۲	افزایش	۰,۰۰	تبریز	$Yt = 28.8 + 0.02 * t$	۰,۲	افزایش	۰,۰۰	بابلسر
$Yt = 34.1 + 0.02 * t$	۰,۲	افزایش	۰,۰۰	تهران	$Yt = 36.9 + 0.02 * t$	۰,۲	افزایش	۰,۰۰	بم
$Yt = 39.5 + 0.02 * t$	۰,۲	افزایشی	۰,۰۲	خرم‌آباد	$Yt = 31.3 + 0.03 * t$	۰,۳	افزایش	۰,۰۰	مشهد
$Yt = 35.2 + 0.03 * t$	۰,۳	افزایش	۰,۰۰	کرمانشاه	$Yt = 31.8 + 0.03 * t$	۰,۳	افزایش	۰,۰۰	همدان
$Yt = 37.9 + 0.01 * t$	۰,۱	افزایش	۰,۰۰	بندرعباس	$Yt = 33.4 + 0.01 * t$	۰,۱	افزایش	۰,۰۴	کرمان
					$Yt = 35.8 + 0.02 * t$	۰,۲	افزایش	۰,۰۰	یزد

۴- جمع‌بندی

الگوی میانگین دمای بیشینه و ضریب تغییرات مربوط به آن در بهار، تابستان و دوره گرم نشان می‌دهد که در نیمه غربی و شمالی کشور، نسبت به بقیه مناطق با تغییرپذیری بیشتری همراه است. بالاترین ضریب تغییرات در حوزه شمال‌غرب، غرب و حوزه کاسپین، مربوط به ایستگاه‌های انزلی، ارومیه و زنجان است که به نظر می‌رسد تحت تأثیر بیشتر فعالیت سامانه‌های شمالی با هوای سرد و وضع ناهمواری‌ها قرار گرفته‌اند. نیمه جنوبی کشور در هر سه بازه زمانی، از تغییرات ناچیزی برخوردارند که با نتایج کار رحیم زاده و عسگری (۱۳۸۳) همخوانی دارد. این نشان می‌دهد که تغییرات سالانه دمای بهار و تابستان در نیمه جنوبی و مرکزی ایران از یک رژیم ثابتی برخوردار بوده و در یک دامنه معینی تغییر می‌کند. چنین استنباط می‌شود که در این فصل‌ها بیشتر این مناطق تحت رژیم دمایی حاره‌ای واقع می‌شوند و این زمانی است که پرارتفاع جنب حراره با انتقال شمال سوی خود به نواحی مرکزی و شمالی ایران، مناطق جنوبی این پرفشار تحت تأثیر جریانات مناطق حراره‌ای قرار می‌گیرند. با توجه به این‌که میانگین دمای بیشینه

اغلب ایستگاه‌های حوزه شمال غرب و غرب در دوره ۳۰ ساله و ۱۰ ساله دوم در بهار، تابستان و دوره گرم، بین ۰,۳ تا ۰,۸ کاهش داشته است، ولی ایستگاه‌های کرمانشاه، تبریز و همدان، افزایشی بین ۰,۷ تا ۱,۲ را تجربه کردند. چنین افزایشی می‌تواند با توجه به تغییر کاربری اراضی، گسترش شهرها، افزایش جمعیت و درنتیجه افزایش گازهای گلخانه‌ای و افزایش سامانه‌های گرمایی و جابجایی ایستگاه توجیه شود که می‌توانند تغییراتی در اقلیم منطقه ایجاد کنند. در دوره ۳۰ ساله و ۱۰ ساله دوم نسبت به دوره ۳۰ ساله و ۱۰ ساله اول و نیز نسبت به دوره ۶۰ ساله، میانگین دمای بیشینه اغلب ایستگاه‌های همدیدی (۰,۷۶,۹٪) در فصول بهار، تابستان و دوره گرم در بازه‌های زمانی موردنظر افزایش داشته‌اند. با این تفاوت که افزایش دمای بیشینه فصل تابستان نسبت به پارامتر متناظر آن در فصل بهار در اغلب ایستگاه‌ها کمتر بوده است که با نتایج کار ماگوم و همکاران (۲۰۱۶) در چین هماهنگ است. به نظر می‌رسد که از تأثیرگذاری جریانات شمالی نسبت به دوره‌های متناظر ۳۰ ساله و ۱۰ ساله اول کاسته شده و به همان نسبت براثر گذاری سامانه‌های با منشأ جنوبی و حاکمیت پر ارتفاع جنب حاره افروزده شده باشد.

مقدار افزایش میانگین دمای بیشینه در بازه زمانی ۳۰ ساله و ۱۰ ساله دوم، نسبت به افزایش آن در دوره‌های ۳۰ ساله و ۱۰ ساله اول طی تابستان، نسبت به فراسنج متناظر آن در بهار در اغلب ایستگاه‌ها جهش کمتری داشته است. به نظر می‌رسد دلیل آن کاهش فراوانی تهاجم هوای نسبتاً سرد و همچنین سامانه‌های همرفتی، در فصل بهار نسبت به فصل تابستان و همگونی بیشتر کشور از نظر دمایی در فصل تابستان باشد. اختلاف نسبی موجود در نیمه شمالی و غربی کشور ناشی از ارتفاع و جهت ناهمواری‌ها است. نتایج بررسی میانگین دمای کمینه نشان می‌دهد که تغییراتی جزئی در این فراسنج، طی بازه زمانی ۳۰ ساله و ۱۰ ساله دوم نسبت به بازه زمانی ۳۰ ساله و ۱۰ ساله اول و دوره ۶۰ ساله به وجود آمده است. تقریباً ۰,۷۳٪ ایستگاه‌ها طی بهار، تابستان و دوره گرم، افزایش میانگین دمای کمینه را تجربه کرده‌اند که از این نظر با نتایج کار لین و همکاران (۲۰۱۷) در چین همسو است. مقدار افزایش فراسنج مزبور در ایستگاه‌هایی مانند تهران، رشت، مشهد و تبریز در نیمه شمالی کشور در فصل بهار بیشتر از ۲ درجه است. گرچه در فصل بهار، نیمه شمالی کشور هنوز تحت تأثیر تسلط پر ارتفاع جنب حاره قرار نگرفته است؛ بنابراین چنین افزایشی در میانگین دمای کمینه ایستگاه‌های نامبرده شده، می‌تواند با توجه به موارد مطروحه در افزایش میانگین دمای بیشینه توجیه شود.

میزان افزایش در میانگین حداقل دما در تابستان کندر و لی در میانگین حداقل دما سریع‌تر است؛ بنابراین دامنه تغییرات شبانه‌روزی دما کاهش یافته است که با نتایج تحقیقات حلیان و همکاران تطابق دارد. بیشترین افزایش در فراسنج میانگین حداقل دما مربوط به شهرهای اهواز، تهران، مشهد، شیراز و شاهرود بوده است که با نتایج مطالعات علیزاده و نجفی (۱۳۹۶) مطابق است. به نظر می‌رسد که کاهش میانگین دمای کمینه ایستگاه بندرعباس در تابستان، در بازه ۳۰ ساله و ۱۰ ساله دوم نسبت به بازه زمانی متناظر آن در دوره اول، ناشی از تقویت بیشتر پدیده نسیم دریا و

خشکی و نیز تأثیرگذاری بیشتر مونسون در این دوره باشد. نتایج بررسی ۲۰ درصد حد بالای میانگین دمای بیشینه و ۲۰ درصد پایین میانگین دمای کمینه فصل بهار و تابستان در دو دوره ۳۰ ساله نشان می‌دهد که تواتر و گسترش دوره گرم و سرد در بازه زمانی ۳۰ ساله دوم نسبت به بازه زمانی ۳۰ ساله اول در هر دو فصل افزایش یافته است و رخداد میانگین دمای بیشینه فراگیر در فصل بهار، تأثیر مستقیمی بر میانگین دمای فصل تابستان و به تبع آن تجربه دمای بیشینه منطبق با فصل بهار دارد. نتایج روند یابی داده‌ها بر اساس آزمون من کنال برای بازه زمانی ۶۰ ساله در فصل بهار و تابستان نشان می‌دهد که میانگین دمای کمینه ۲۱ ایستگاه از ۲۶ ایستگاه مورد مطالعه در فصل بهار و همچنین ۲۲ ایستگاه در تابستان، دارای روند معنی دار بوده‌اند؛ که با نتایج کار حلیان و همکاران (۱۳۹۶) و عسگری و رحیم زاده (۱۳۸۳) مطابقت دارد. در مورد میانگین دمای کمینه فصل بهار فقط ایستگاه شهرکرد و برای فصل تابستان نیز ایستگاه‌های ارومیه و شهرکرد، رامسر و رشت روند کاهشی معنی دار داشته‌اند، بقیه ایستگاه‌ها در هر دو فصل روند افزایشی در دمای کمینه را تجربه کردنده از این نظر با گرمایش جهانی مطابقت دارد و رخداد تغییر اقلیم در ایران را تائید می‌کند. نتایج بررسی روند میانگین دمای بیشینه فصل بهار و تابستان، نشان می‌دهد که در فصل بهار و تابستان به ترتیب به‌غیر از ۶ و ۱۰ ایستگاه، بقیه ایستگاه‌ها دارای روند معنی دار بوده‌اند. از این تعداد فقط ایستگاه ارومیه در بهار و انزلی در تابستان روند کاهشی داشتند. آهنگ تغییرات افزایشی در روند میانگین دمای کمینه ایستگاه‌ها در فصل بهار و تابستان، شدیدتر از آهنگ افزایش، در روند میانگین دمای بیشینه همین فصول است که با نتایج مطالعات علیزاده و نجفی (۱۳۹۶)، لوئیس و کینگ (۲۰۱۷)، تطابق دارد؛ بنابراین لزوم توجه و تأکید بر پیامدهای تغییر الگوهای دمایی کشور از سوی مدیران بیش از پیش احساس می‌شود، زیرا به صورت شتاب‌زده دامنه تغییرات شبانه‌روزی دما در پهنه کشور کاهش می‌دهد. نتیجه این که افزایش تعداد شب‌های گرم به عنوان پیامد کاهش دامنه تغییرات شبانه‌روزی دما، می‌تواند خطر رخدادهای فرین اقلیمی را در کشور افزایش دهد و در نتیجه ضممن افزایش آسیب‌پذیری مردم، پیامدهای اقتصادی-اجتماعی و زیستمحیطی را به دنبال داشته باشد.

تقدیر و تشکر

از پژوهشکده هواثناسی و علوم جو به سبب در اختیار گذاشتن فرصت مطالعاتی و همچنین همکاری بسیار نزدیک در مورد دریافت داده‌ها و استفاده از منابع مورد نیاز این موسسه و نیز جناب آقای دکتر محمد پور، جناب آقای دکتر رهنما و خانم دکتر یاراحمدی به سبب کمک‌های علمی ایشان قدردانی می‌شود.

منابع

احمدی، فرشاد؛ رادمنش، فریدون؛ ۱۳۹۳. بررسی روند تغییرات متوسط دمای ماهانه و سالانه نیمه شمالی کشور در نیم قرن اخیر، نشریه آب و خاک (علوم و صنایع کشاورزی). شماره ۴(۲۸). ۸۵۵-۸۶۵.

حلیبان، امیرحسین؛ پورشهبازی، جواد؛ سلطانیان، محمود؛ ۱۳۹۶. ارزیابی تغییر دمای بیشینه و کمینه فصلی ایران. مجله آمایش جغرافیایی فضای. شماره ۲۳. ۱۰-۱.

دارند محمد، ۱۳۹۴، ارزیابی و شناخت تغییر اقلیم در ایران زمین طی دهه های اخیر، نشریه علوم و مهندسی آبخیزداری ایران. ش. ۱۴-۱. ۳۰.

رحمی زاده، فاطمه؛ عسکری، احمد؛ ۱۳۸۳. نگرشی بر تفاوت نرخ افزایشی دمای کمینه و بیشینه و کاهش دامنه شباهنگی دما در ایران. فصلنامه تحقیقات جغرافیایی. شماره ۷۳. ۱۵۳-۱۷۱.

صادقی، سلیمان؛ حسین زاده، سید رضا؛ دوستان، رضا؛ آهنگر زاده، زهرا؛ ۱۳۹۱. تحلیل همدیدی امواج سرمایی در شمال شرق ایران. جغرافیا و مخاطرات طبیعی. شماره ۳. صص ۱۰۷-۱۲۳.

علیزاده چوبیری، امید؛ نجفی، محمد سعید؛ ۱۳۹۶. روند تغییرات دمای هوا و بارش در مناطق مختلف ایران. مجله فیزیک زمین و فضا. ۳(۴۳). ۵۶۹-۵۸۴.

قاسمی فر، الهام؛ ناصرپور، سمیه؛ ۱۳۹۵. تحلیل سینوپتیکی امواج گرما و سرما در سواحل جنوبی دریای خزر. فصلنامه علمی - پژوهشی اطلاعات جغرافیایی (سپهر). شماره ۱۰۳. ۱۳۷-۱۴۶.

لطفی، محمد؛ علیجانی، بهلول؛ ضیاییان فیروزآبادی، پرویز؛ ۱۳۹۳. واکاوی تأثیر شهر بر تغییرات سالانه دما در شمال شرق ایران. نشریه تحقیقات کاربردی علوم جغرافیایی. شماره ۱۴(۳۵). ۱۹۶-۱۷۵.

ورشاویان، وجید؛ خلیلی، علی؛ قهرمان، نوزده؛ سهراب، حجام؛ ۱۳۹۰. بررسی روند تغییرات مقادیر فرین دمای کمینه، حداقل و میانگین روزانه چند نمونه اقلیمی ایران. مجله فیزیک زمین و فضا. شماره ۱۱(۳۷). ۱۷۹-۱۶۹.

Altin, T.B., Barak, B., Altin. B.N., 2012. Change in Precipitation and Temperature Amounts over Three Decades in Central Anat. Earth & Environmental Sciences, vol2, 107-125.

Bsara, J.B., Basara, H.G., Illoston, B.G., Crawford, K.C., 2010. The Impact Of The Urban Heat Island during an intense Heat Wave in Oklahoma City. Advances in Meteorology, Volume 2010., 1-10.

Gurevich, G., Hadad, Y., Ofir. A., Ohayon, B., 2011. Statistical analysis of temperature changes in Israel: an application of change point detection and estimation techniques. Global nest journal, vol 13, 215-228.

Lewis, S.C., King, A.D., 2017. Evolution of mean variance and extremes in 21st century temperatures, VOL15, 1-10.

Lin, P., He, Z., Du, J., Chen, L., Zhu, X., Li, J., 2017. Recent changes in daily climate extremes in an arid mountain region, a case study in northwestern China's Qilian Mountains. Scientific Reports volume vol 7, 1-15.

Makokha, G.L., Shisanya, C.A., 2010. Trends in Mean Annual Minimum and Maximum near Surface Temperature in Nairobi City, Kenya. Advances in Meteorology, vol 2010, 1-6.

Mugume, I., Shuanghe, SH., Tao Sulin, T., Mujuni, G., 2016. Analysis of Temperature Variability over Desert and Urban Areas of Northern China. Journal of Climatology & Weather Forecasting 2-9.

Peng, D., Wang, X., Zhao, C., Wu, C., Jiang, F., Chen. P, 2014, Characterizing Air Temperature Changes in the Tarim Basin over 1960–2012. Plose one, vol 9(11), 1-11.

- Peterson. TC., Heim, Jr.R.,2013. Monitoring and understanding changes in heat waves, cold waves, floods and droughts in the United States. American Meteorological Society, 821-834.
- Qu, M., Wan, M., Hao, X., 2014. Analysis of diurnal air temperature range change in the continental United States. Weather and Climate Extremes, vol 4, 86-95.
- Stock, J.M., Taylor, N.A.S., Tipton, M.J., Greenleaf, J.E., 2004. Human Physiological Responses to Cold Exposure Aviat Space Environ Med. vol 75,444.457
- WMO, No. 111.NCP8.





پژوهشگاه علوم انسانی و مطالعات فرهنگی
پرستال جامع علوم انسانی



پژوهشگاه علوم انسانی و مطالعات فرهنگی
پرستال جامع علوم انسانی